



LI Jornadas SOLACI

16° Região do Cone Sul

7, 8 e 9 de maio, 2025

Montevideo, URUGUAY

Informação: www.solaci.org | (5411) 4954-7173





**CardioSUC
2025**
47º Congreso Uruguayo
de Cardiología
El paciente en el corazón de cada decisión

LESIONES CALCIFICADAS: ESCENARIO DESAFIANTE

Evaluación imagenológica: del diagnóstico a la planificación de PCI

Dr Daniel Aníbal Zanuttini

Director del Departamento de Cardiología Intervencionista y Hemodinamia.
Instituto de Cardiología de Sanatorio Británico. Rosario . Argentina

Ex staff de Hemodinamia y enfermedades vasculares periféricas Hospital Costantini. 1998- 2018. Curitiba. Brasil.

Fundador y coordinador del Servicio de Hemodinamia Del Hospital Jose Maria CULLEN. Santa Fe. Argentina (2005 –2008)

Formación en enfermedades vasculares periféricas Saint Blasius Hospital, Dendermonde. Bélgica.

Miembro Titular de sociedades: FAC, CACI, SBC, SBHCI, SOLACI



Evaluación imagenológica: ANATÓMICOS

IVUS systems

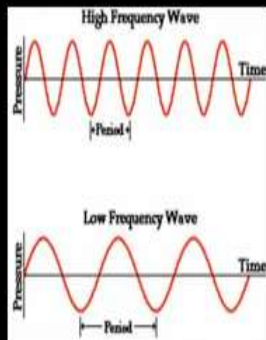




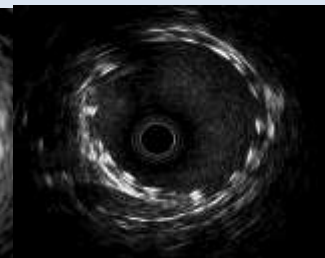
Impacto de la frecuencia del catéter en los parámetros de imagen

Ultrasound Frequency Versus Penetration and Resolution

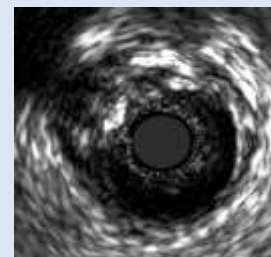
- **Higher Frequency**
 - Shorter Wavelength
 - More Attenuation
 - Less Penetration
 - Better Axial and Lateral Resolution
- **Lower Frequency**
 - Longer Wavelength
 - Less Attenuation
 - Greater Penetration
 - Lower Axial Resolution



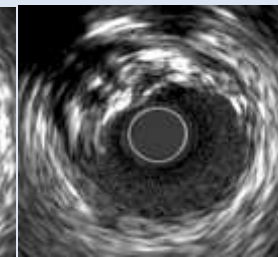
40MHz



45MHz



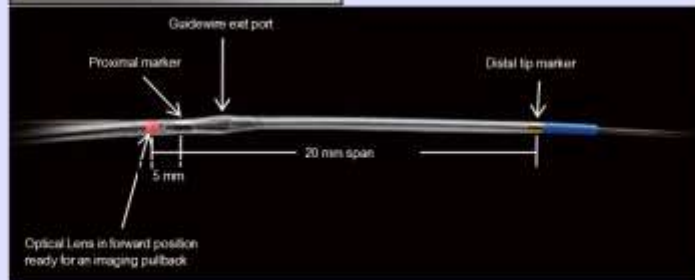
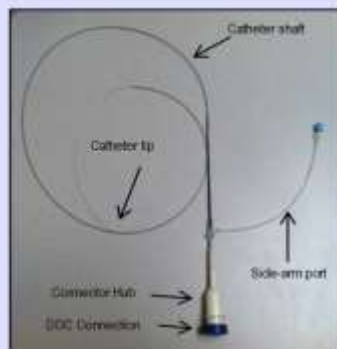
20 MHz



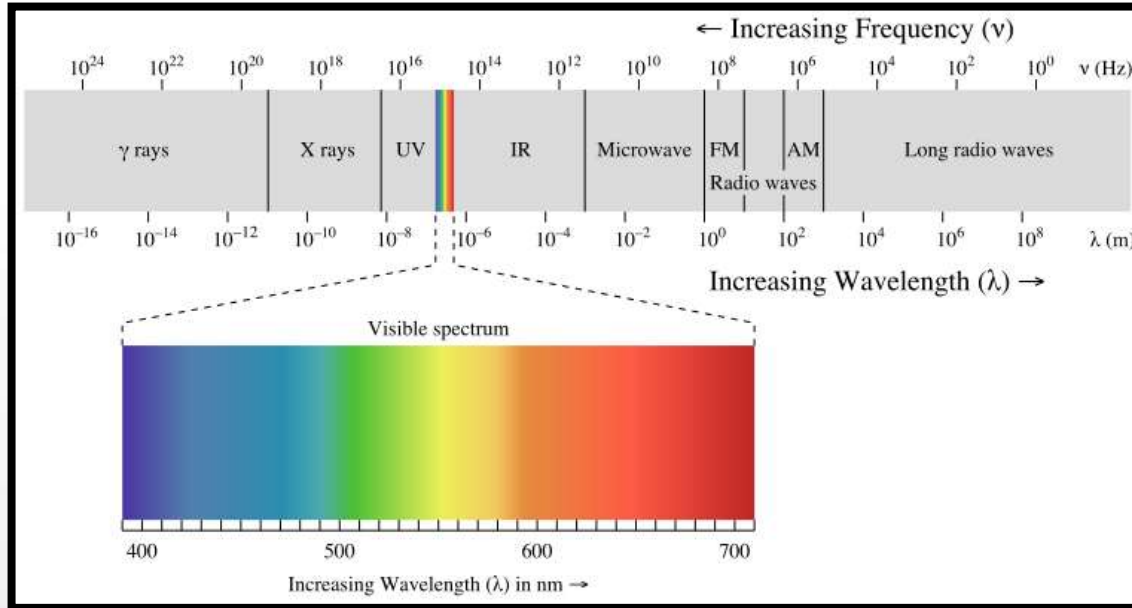
30MHz



OCT system



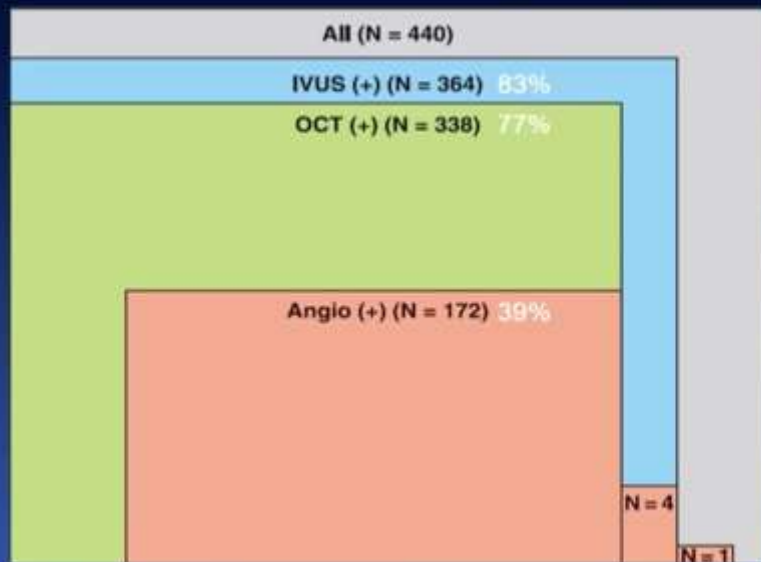
OCT: energy source – electromagnetic spectrum–



**OCT uses infra red light (wave length ~1.300 nm)
[the lesser the wave length, the better the resolution]**

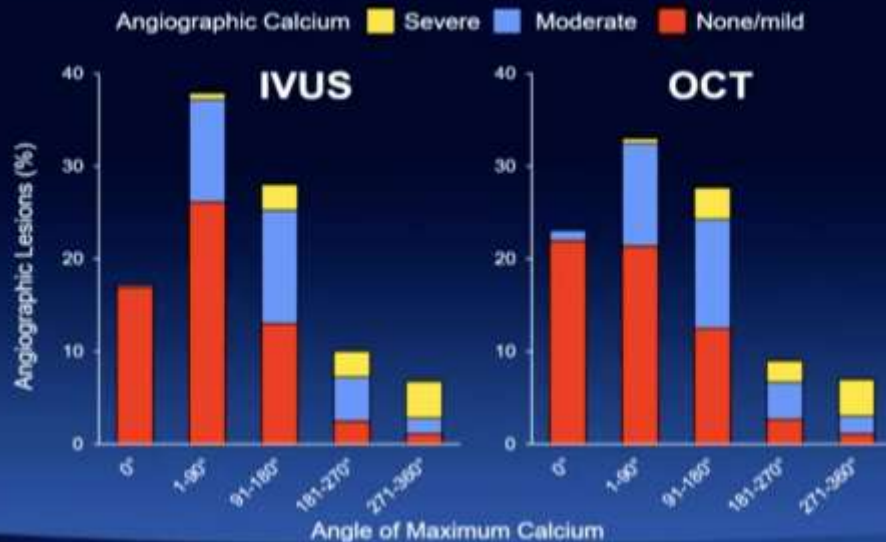


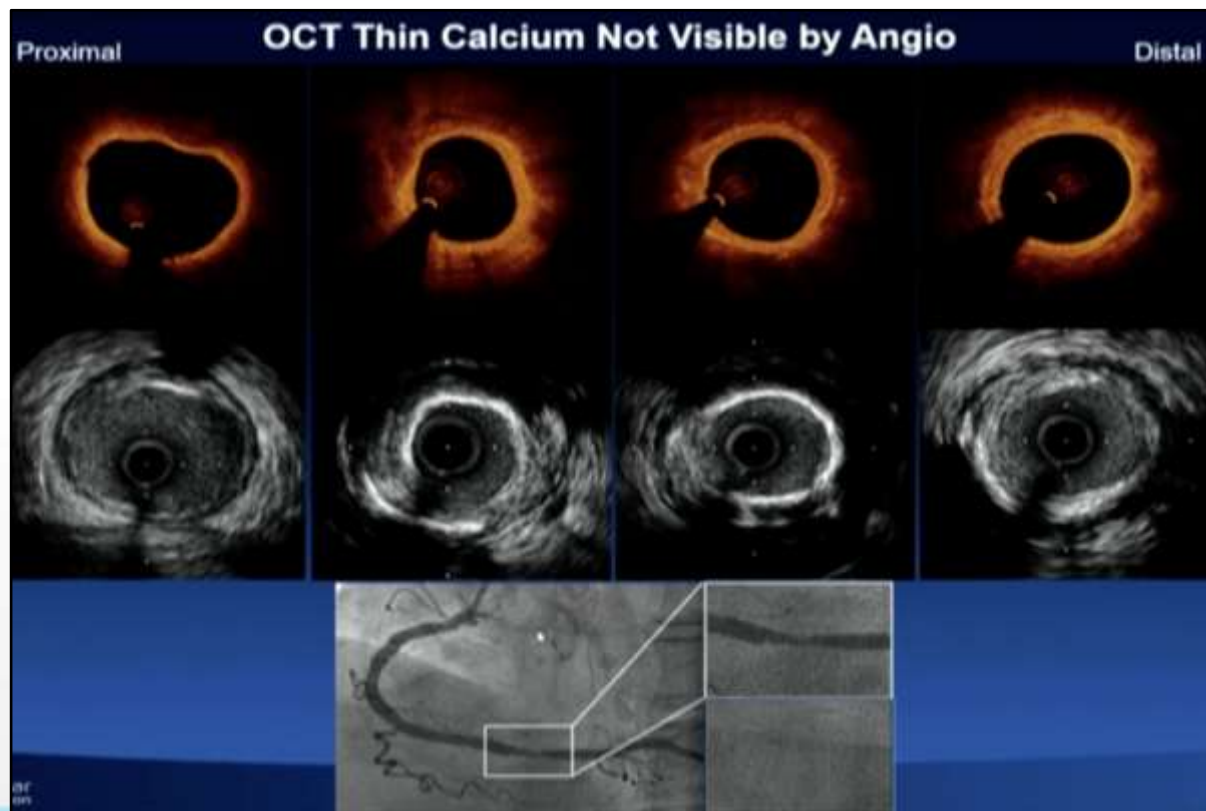
Prevalence of Calcium by Angio or IVI



Wang X and Matsumura M, et al. JACC Img 2017;10: 869-79.

IVUS or OCT and Angiographic Calcium (n=440)

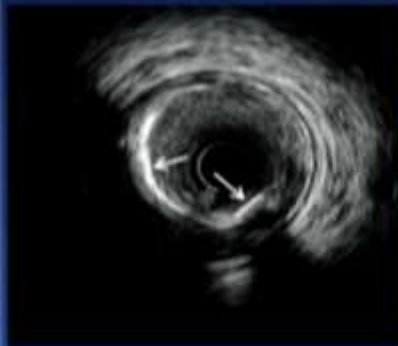




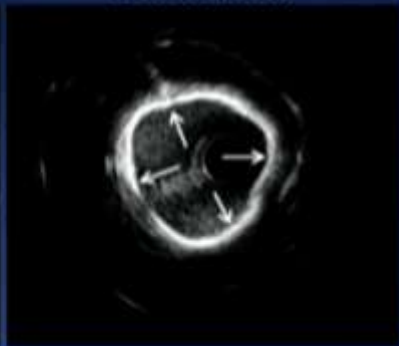


Superficial Calcium

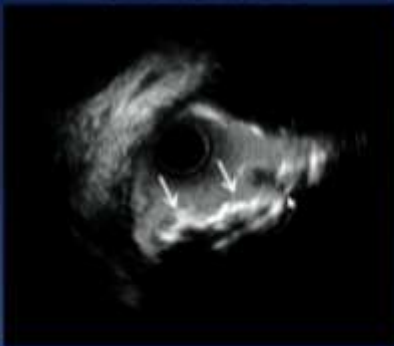
Small Calcium



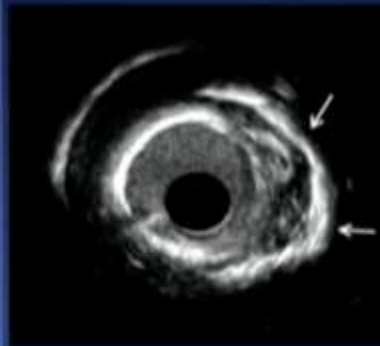
Large Calcium with
Reverberation



Calcified Nodule

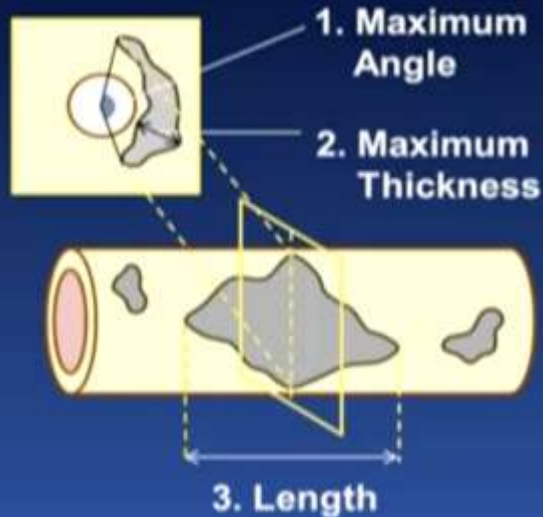


Deep Calcium



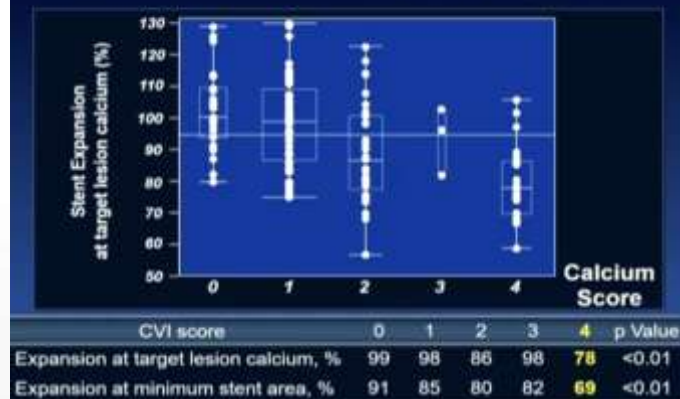


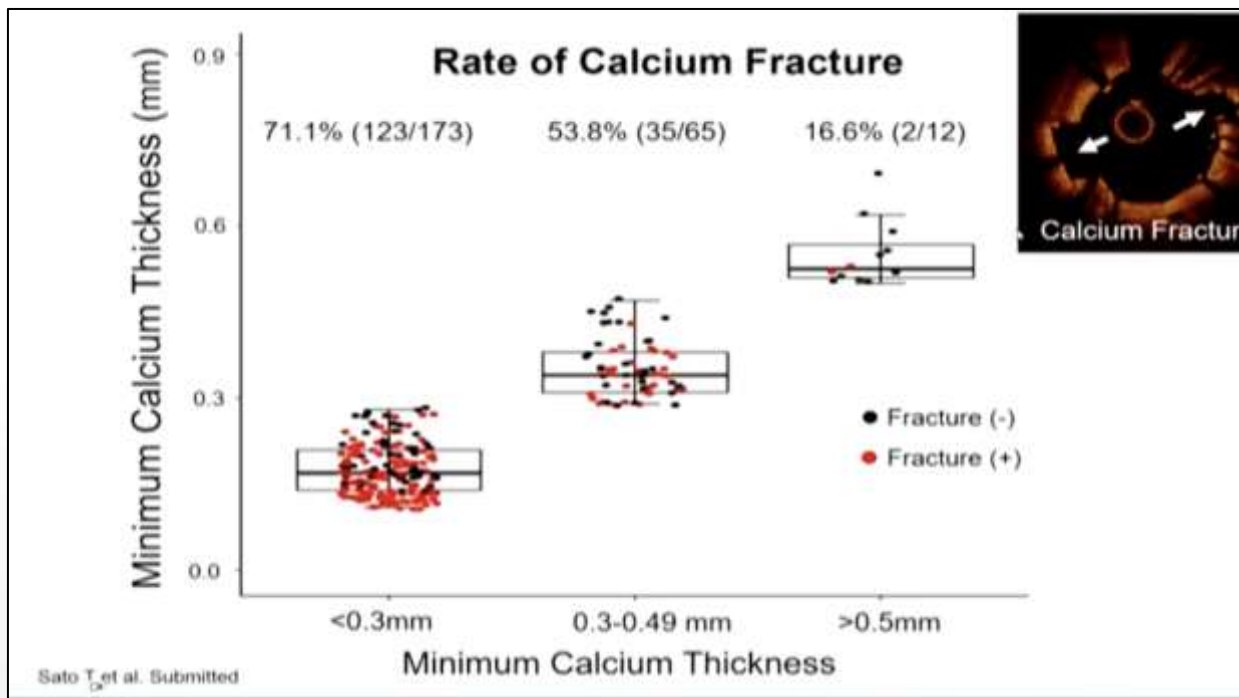
Calcium Scoring System

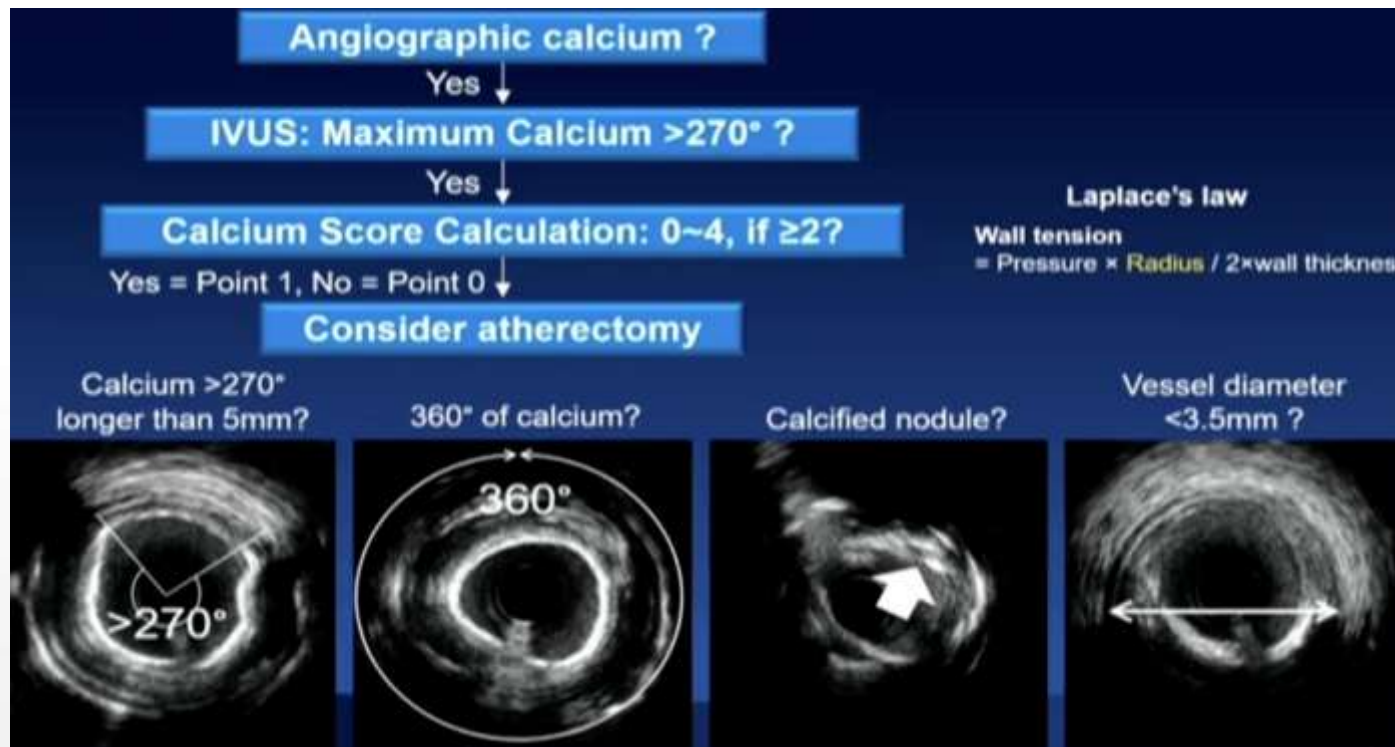


OCT-based CVI Score	
Angle	$\leq 180^\circ \Rightarrow 0$ point
	$> 180^\circ \Rightarrow 2$ points
Thick ness	≤ 0.5 mm $\Rightarrow 0$ point
	> 0.5 mm $\Rightarrow 1$ point
Length	≤ 5.0 mm $\Rightarrow 0$ point
	> 5.0 mm $\Rightarrow 1$ point
Total score: 0 to 4 points	

Calcium Score Predicts Stent Expansion

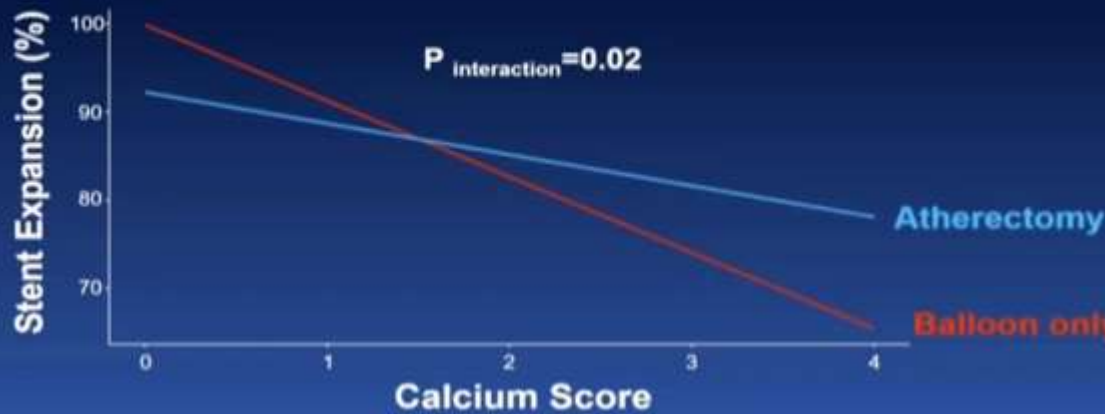






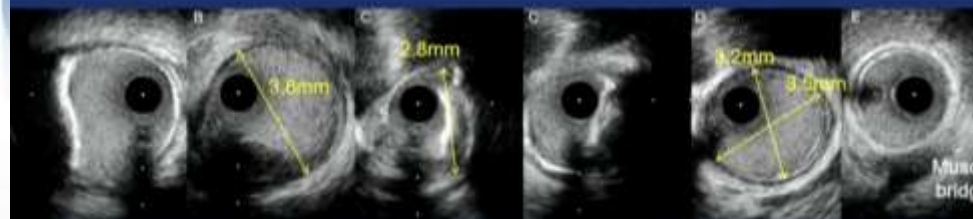
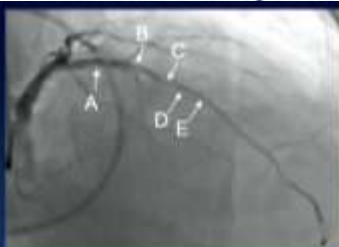


Effect of Atherectomy for Stent Expansion



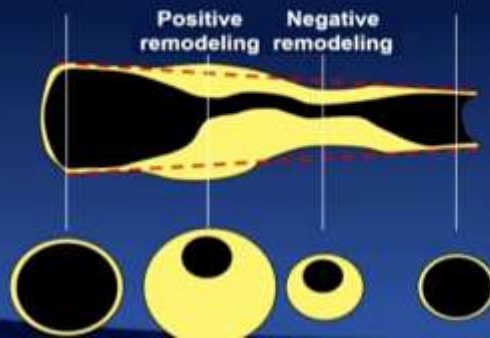


Eccentric calcium with negative remodeling



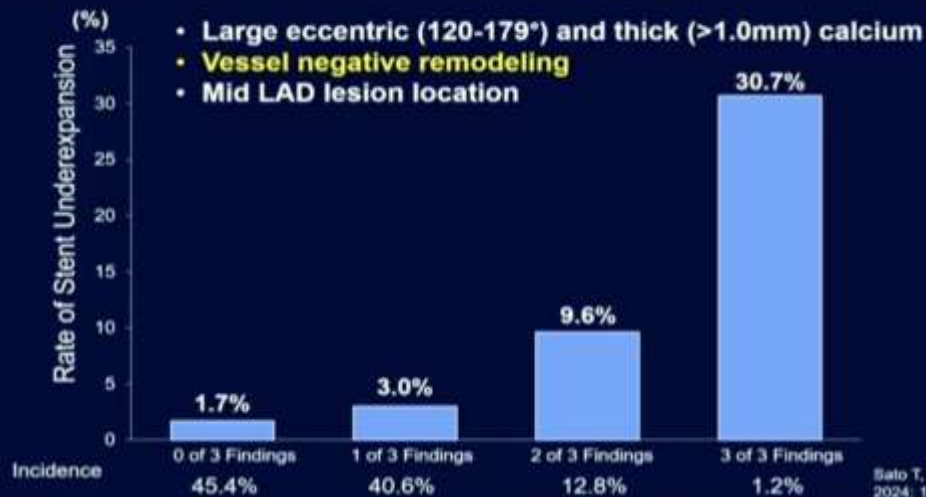
Vessel Remodeling by IVUS

Mintz GS, et al. Circulation 1997; 95, 1791-8.



- Negative Remodeling 15%
- Predictor of negative remodeling: superficial calcium

Key Morphological Findings to be Associated with Stent Underexpansion

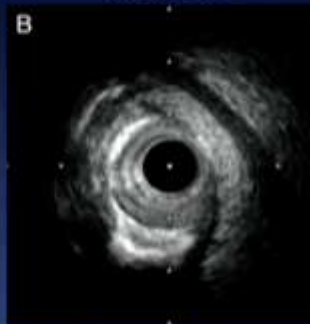
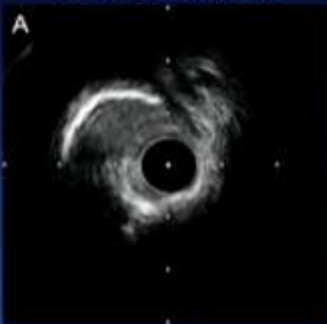
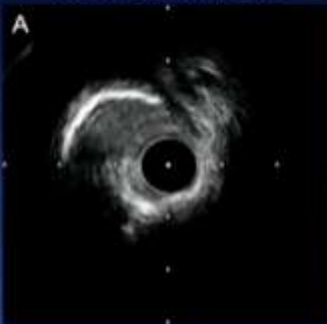


Pre IVUS

Angiographic Severe Calcium

Max Calcium Site

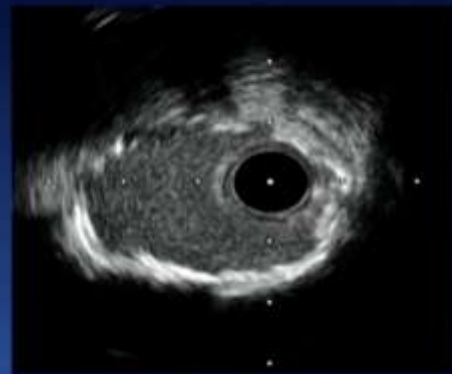
MLA Site



Lumen Area
3.6 mm²

Lumen Area
2.9 mm²

Final IVUS



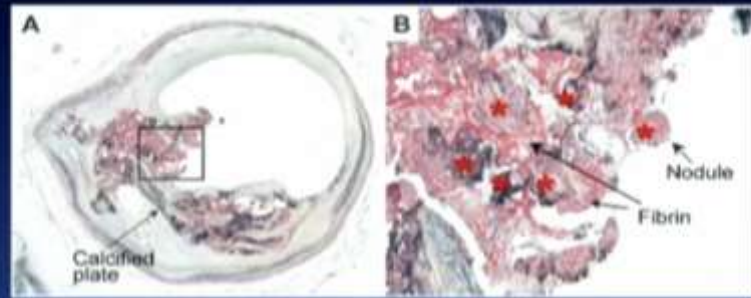
Max Calc Site
Stent Area: 6.3 mm²



Minimum Stent Area
4.6 mm²



Calcified Nodule



Virmani R et al. J Am Coll Cardiol 18;47:C13-8.



Clinical and Morphological Difference

	Calcified Nodule (n=37)	No Calcified Nodule (n=852)	P Value
Age, yrs	73 (65, 79)	66 (58, 73)	0.001
ACS presentation	45.9%	48.2%	0.79
DM	51.4%	33.3%	0.02
Hemodialysis	18.9%	2.6%	<0.001
Δ Angle in lesion	16 (14, 21)	9 (6, 14)	<0.001
OCT Max Ca angle, °	301 (247, 347)	64 (0, 123)	<0.001
Mean Ca angle, °	166 (134, 202)	48 (0, 81)	<0.001
Max Ca thickness, mm	1.18 (0.94, 1.3)	0.21 (0, 0.75)	<0.001



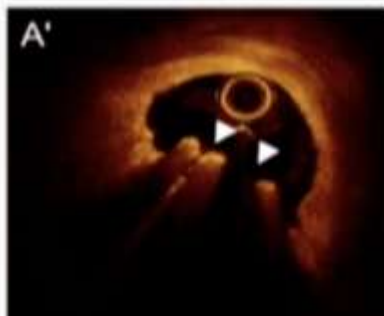
Eruptive vs Non-Eruptive CN

Eruptive Calcified Nodule

Pre-PCI



Final

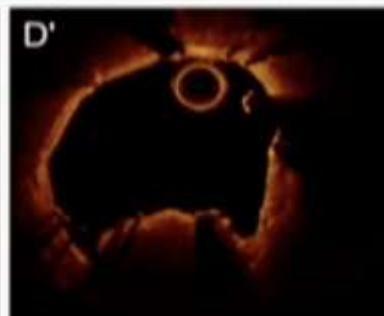
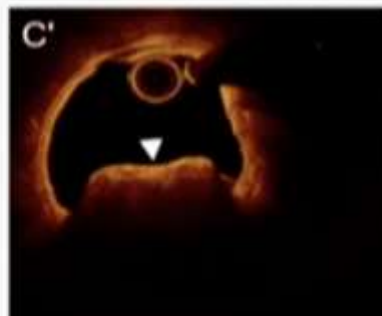


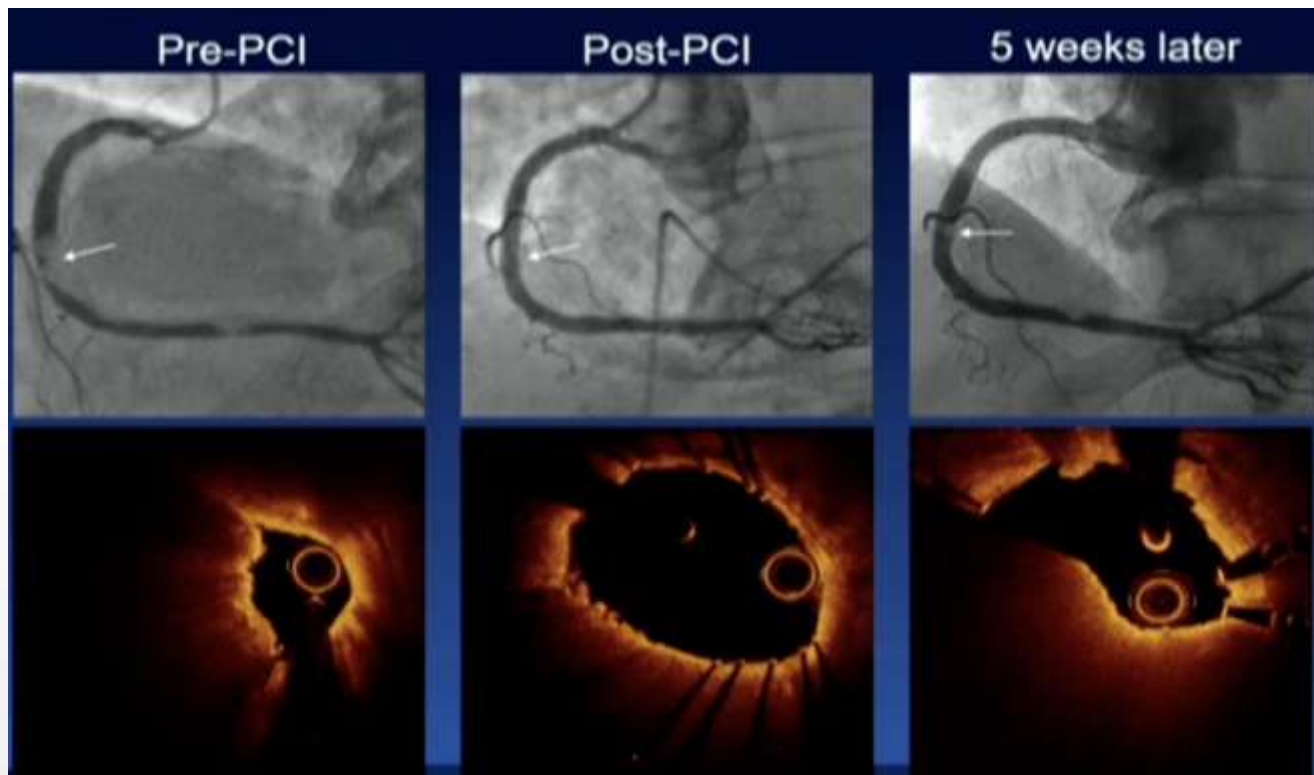
Non-Eruptive Calcified Nodule

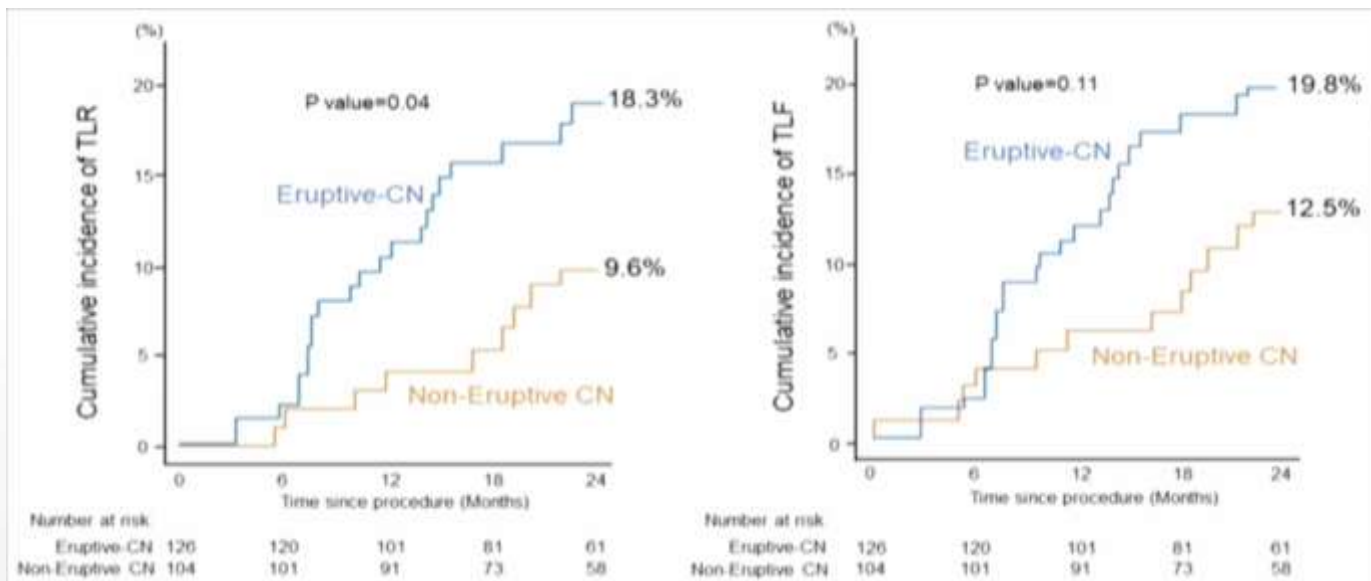
Pre-PCI



Final

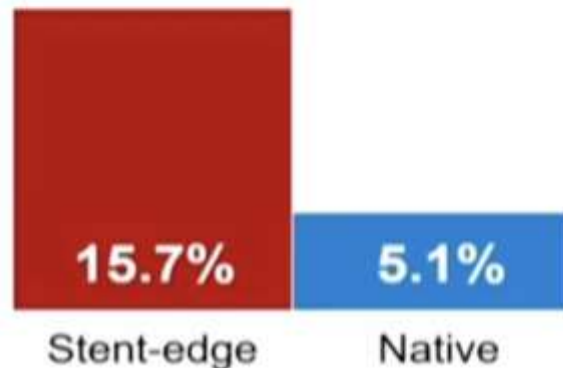
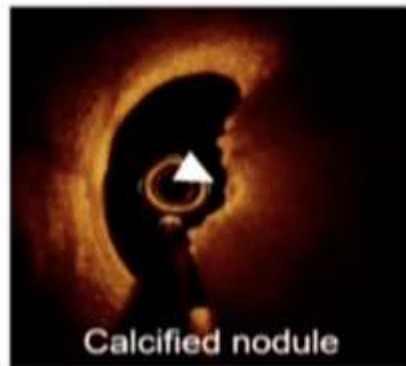






Calcified Nodule is more prevalent at Stent Edge

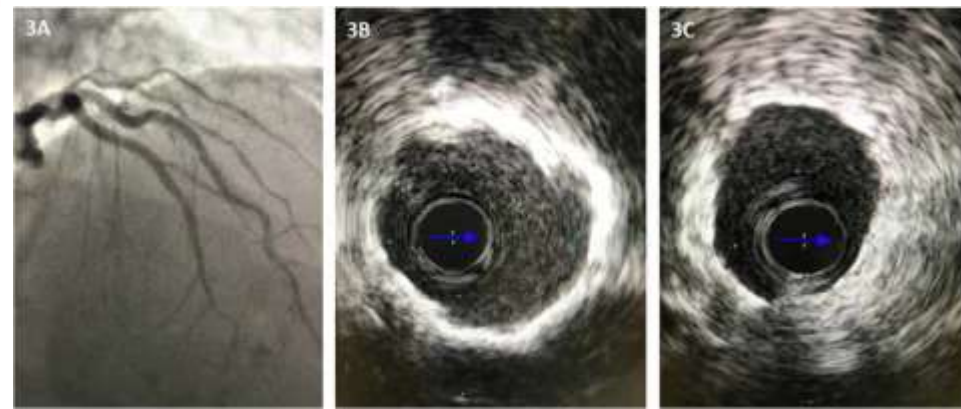
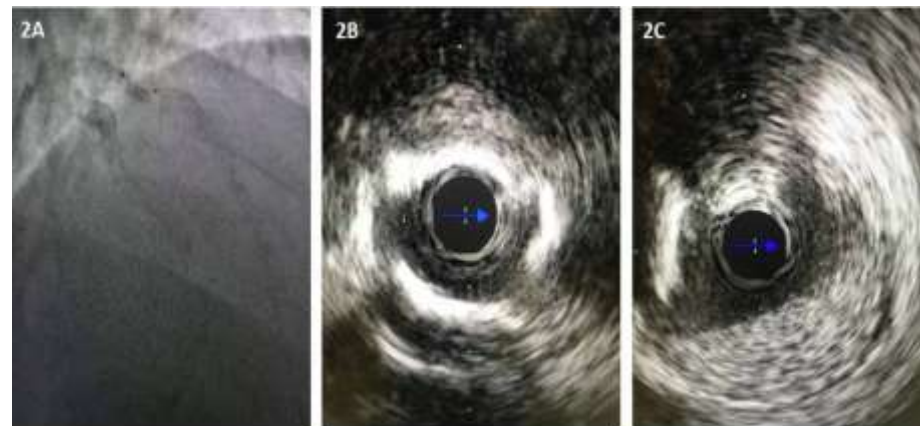
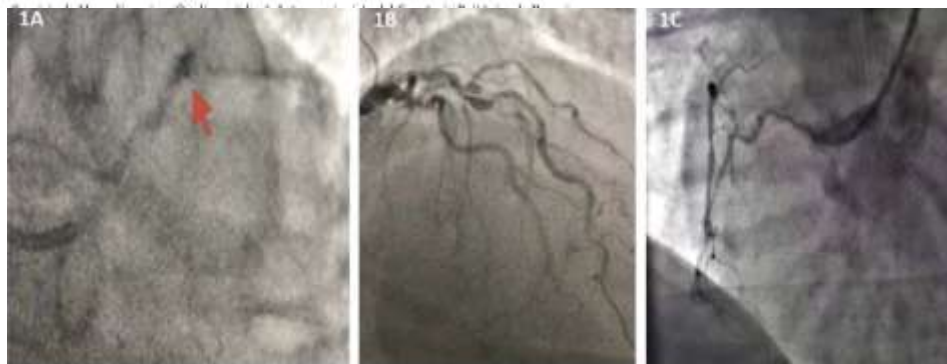
989 old stent edges calcified lesions in 801 pts vs
354 calcified lesions in 350 pts



Caso Clínico**Angioplastia coronaria en lesiones severamente calcificadas facilitada por litotricia coronaria. Reporte de caso**

Coronary angioplasty in severely calcified lesions facilitated by coronary lithotripsy. Case report

Tomas Cúneo, Cristian Calenta, Daniel Zanuttini.



- 1- Cantidad total de volumen de calcio (arco, longitud, grosor) predictor de la expansión del stent
- 2- El calcio excéntrico espeso junto con la remodelación negativa de los vasos también predice una expansión insuficiente del stent.
- 3- Un nódulo calcificado eruptivo (o activo) tiene un pronóstico desfavorable en comparación con un nódulo calcificado no eruptivo (curado).
- 4- El nódulo calcificado se desarrolla a partir de la placa calcificada y los bordes del stent.

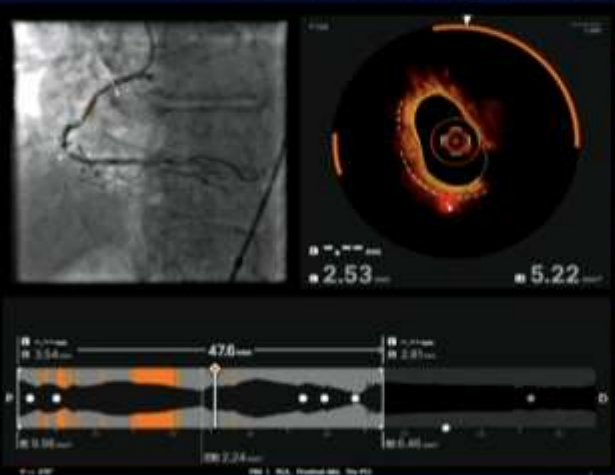
MUCHAS GRACIAS

- **Dr Daniel Aníbal Zanuttini**
- Director del Departamento de Cardiología Intervencionista y Hemodinamia. ICSB.
 - Sanatorio Británico.
 - Rosario . Argentina
- danielzanuttini10@gmail.com





OCT Ultron - Abbott Vascular -



Pre-PCI

- Calcium arc
- Maximum calcium thickness
- Calcium length
- EEL diameter
- Co-registration

Stent optimization

- Stent area
- Malapposition

Available soon

- VFR (OCT derived FFR)

Hope to have

- Dissection

NIRS- OCT - SpectraWave -



Pre-PCI

- Calcium arc
- Maximum calcium thickness
- Calcium length
- Lipid distribution (NIRS)
- EEL diameter
- Co-registration

Stent optimization

- Minimum stent area
- Stent expansion

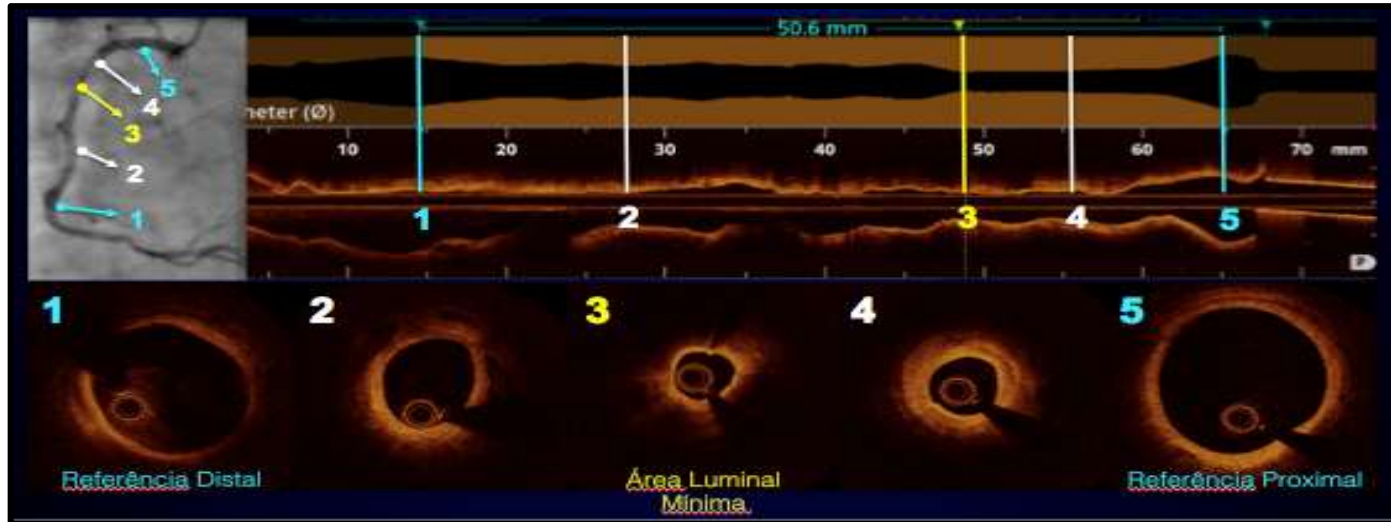
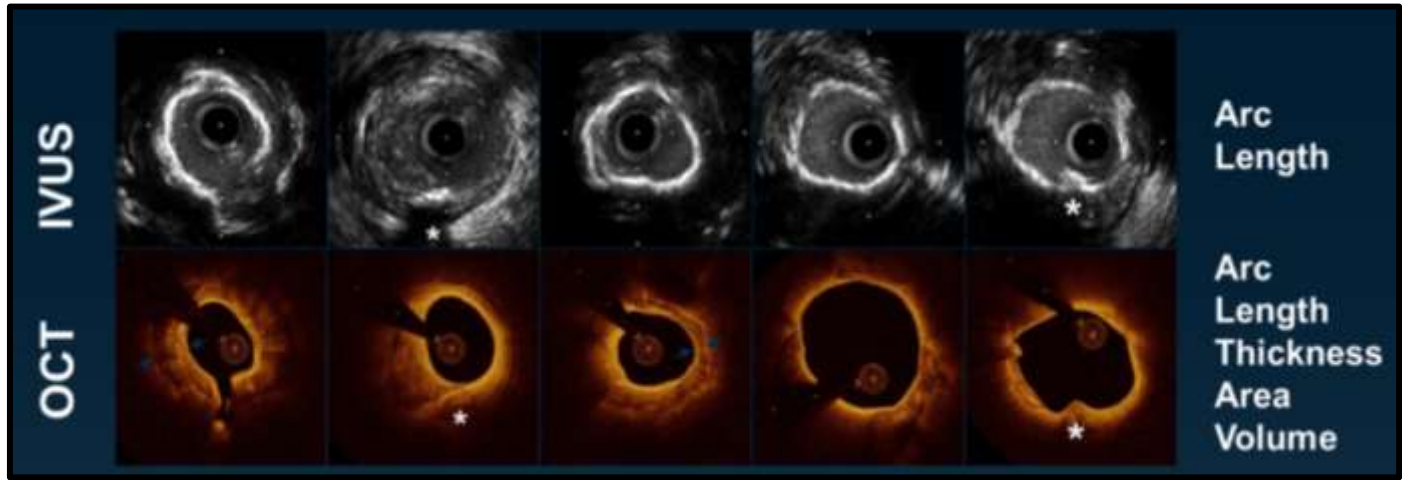
Coming soon

- Angio FFR using one view

Hope to have

- Dissection

Calcio



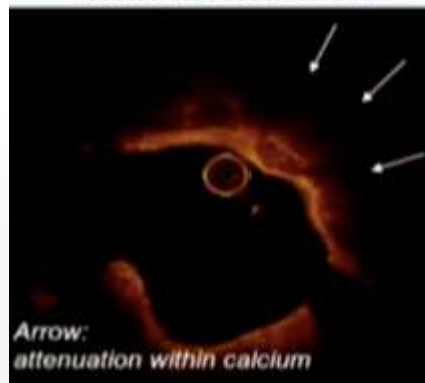
Factors Associated with 2-Year TLF

	HR (95% CI)	p value
Eruptive CN vs noneruptive CN (reference)	2.07 (1.01, 4.50)	0.048
Circumference of CN, per mm	1.65 (1.01, 2.71)	0.047
Δ Angle in lesions, per 10°	2.43 (1.63, 3.63)	0.00001
Stent area at CN site, per mm ²	0.78 (0.63, 0.94)	0.009
Age, per 10 years	0.66 (0.42, 1.03)	0.07
Diabetes mellitus	1.40 (0.68, 2.89)	0.35
Chronic kidney disease	1.59 (0.65, 3.87)	0.30



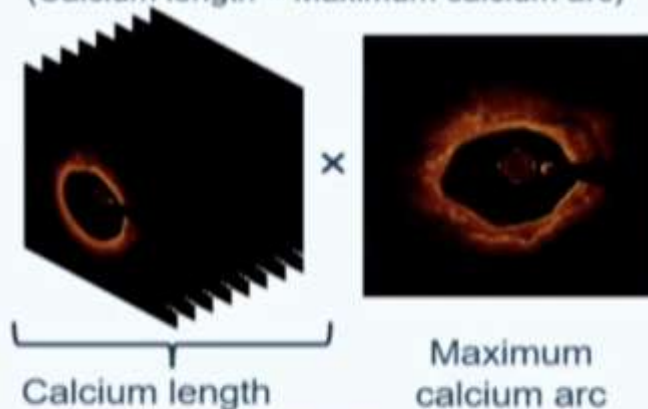
Factors Associated with a New CN Development

Calcium with attenuation



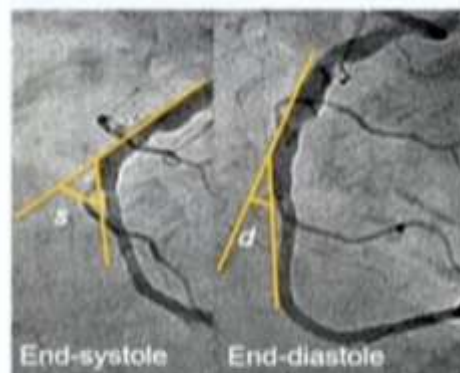
OR 3.13
(95%CI 1.04-9.41)

Calcium volume index
(Calcium length × Maximum calcium arc)



OR 3.35
(95%CI 1.22-9.23)

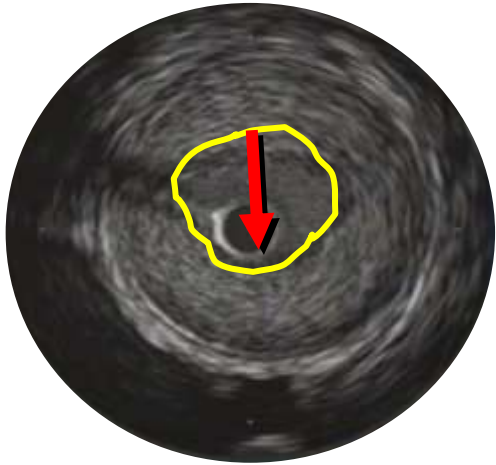
In-lesion Δ angle, per10°
(Δ angle = s-d)



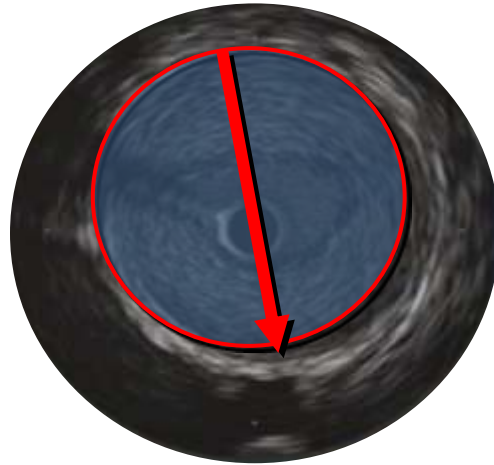
OR 2.32
(95%CI 1.26-4.27)

DIAGNÓSTICO

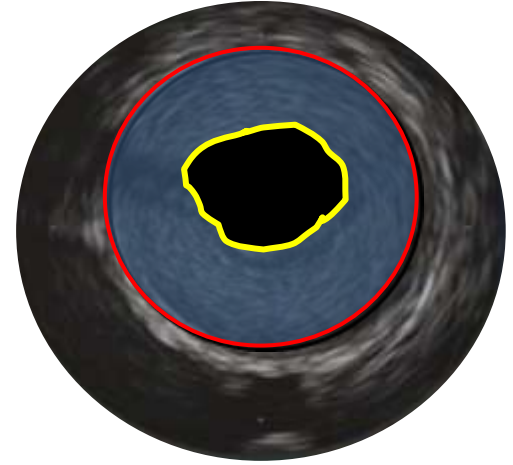
1) Evaluación de lesiones Intermedias (40-70%)



Área Luminal - mm²



Área Total do Vaso



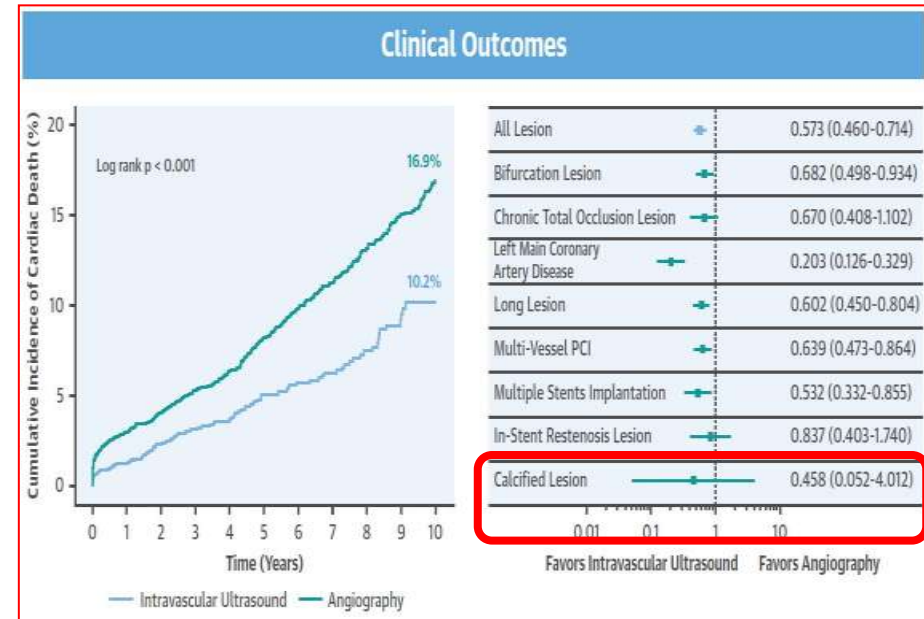
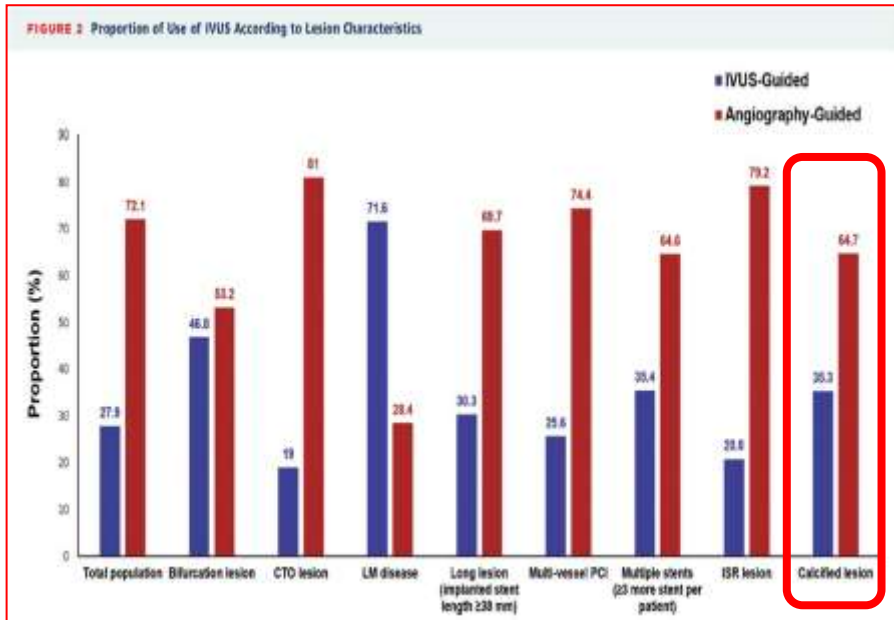
Área da Placa

IMPACT OF IVUS- GUIDED PCI on Long-Term Clinical Outcomes in Patients Undergoing Complex Procedures

2019

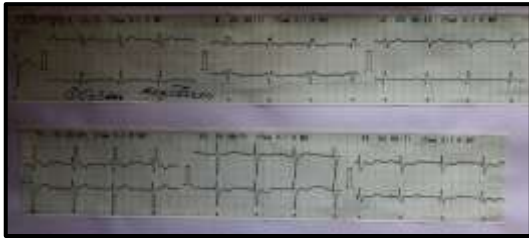
(IVUS-Guided - 1.674 Patients) vs (Angiography-Guided - 4.331 Patients)

**Follow up
@ 10 years**



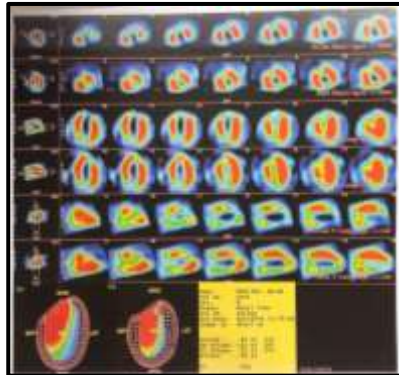
IVUS en lesión de bifurcación

Trabajo reciente de identificación de predictores por IVUS de oclusión aguda de ramo lateral en lesiones de bifurcación, post implante de stent en ramo principal. Conclusión: el grosor de la placa de MV en el sitio de la unión y la relación del diámetro de SB son factores predictivos de oclusión aguda de SB justo después del cruce del stent único.



ETE 12/09/18
FEY 62%.

Insuficiencia mitral moderada a severa, mixomatosa.
Insuficiencia aortica leve.
Leve aumento AI



SPECT 06/08/18
Esfuerzo con infra ST,
ISQUEMIA severa
extensa
Pequeña necrosis antero
lateral

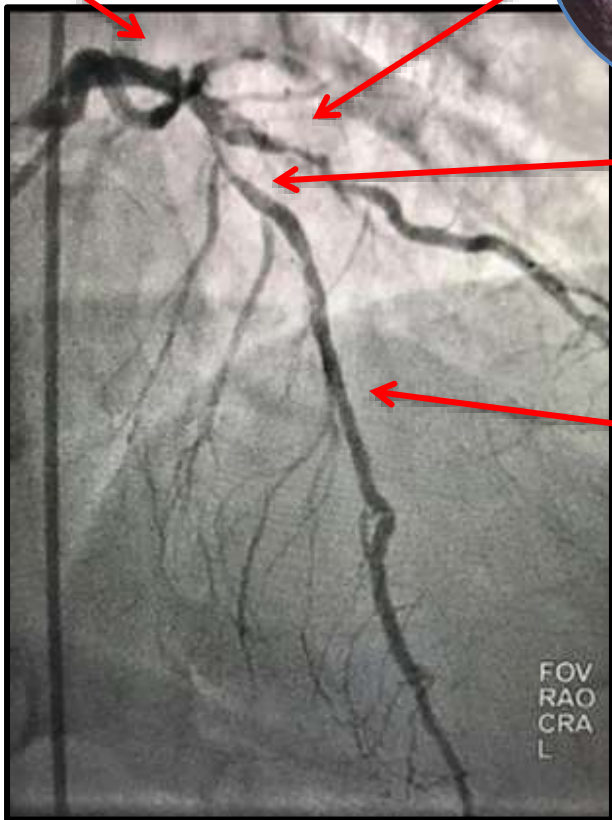
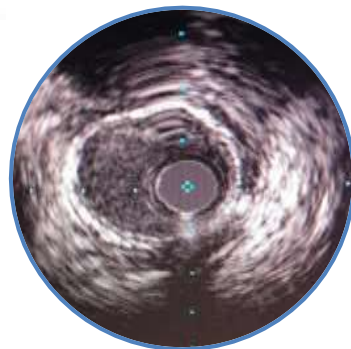
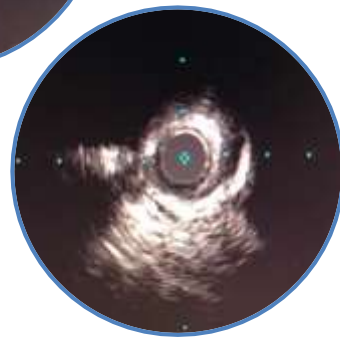
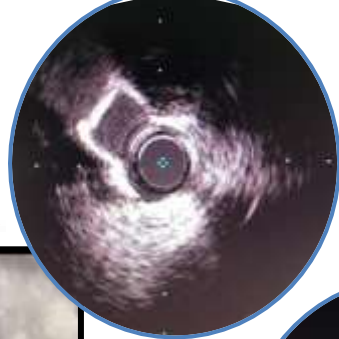
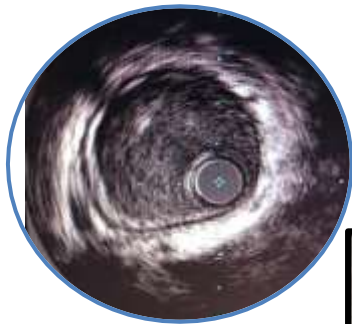
Resultados:

Negativa a CABG.

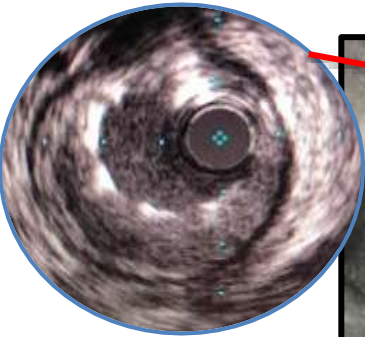
22/09/18

ATC CD con 2 DES

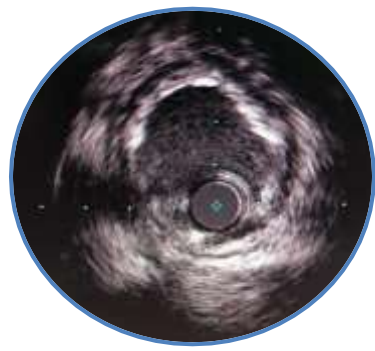
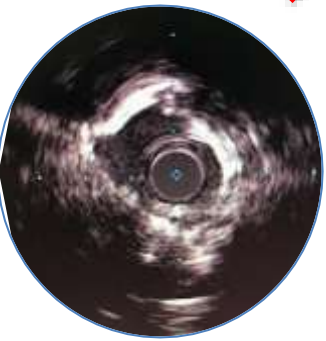
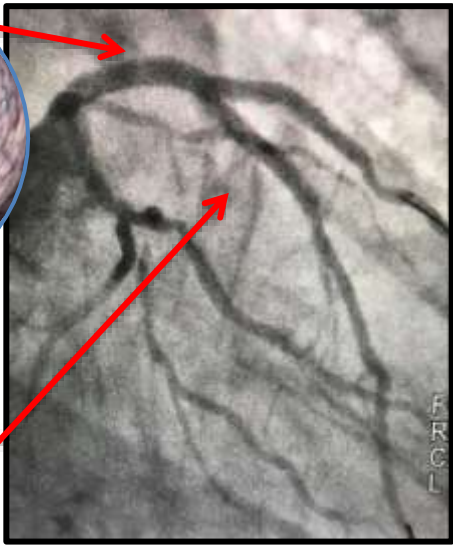




FOV
RAO
CRA
L



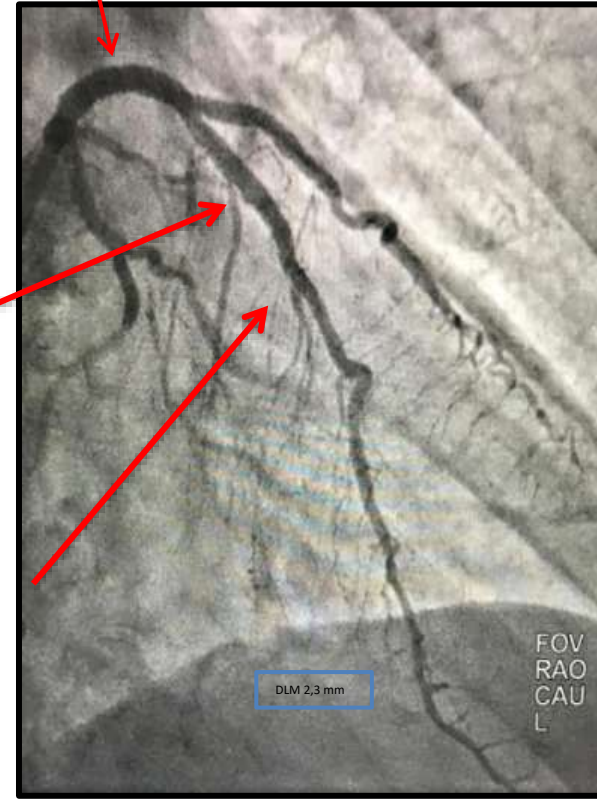
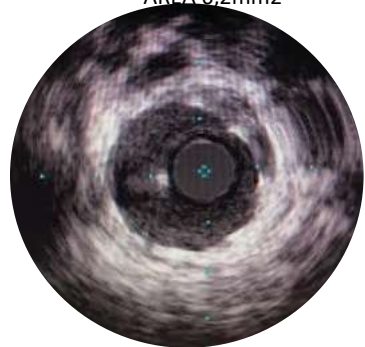
DLM 2,1 mm
AREA 5,5 mm²



DLM 3,2 mm
AREA 8,5 mm²



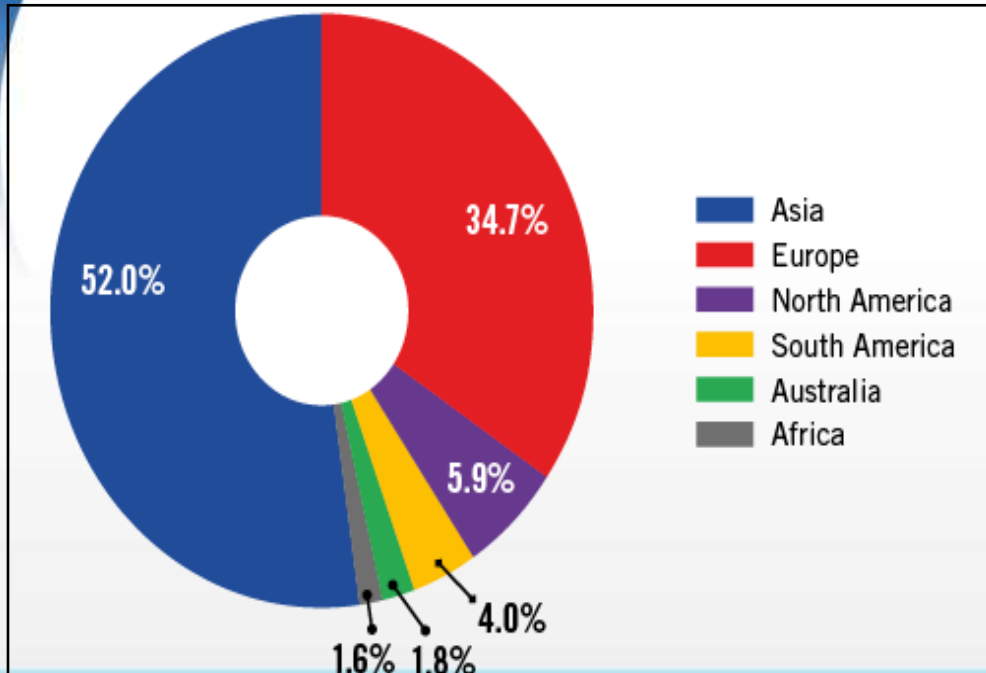
AREA 6,2mm²



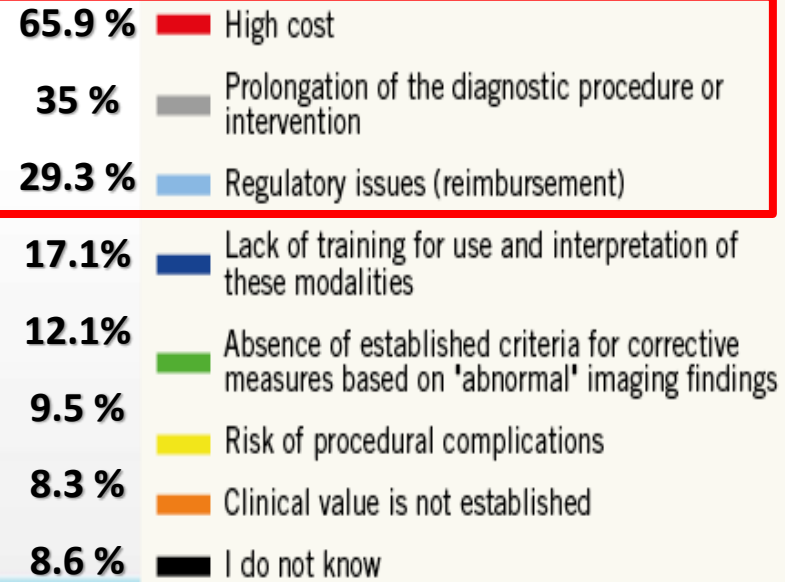
DLM 2,3 mm

FOV
RAO
CAU
L

Current use of intracoronary imaging in interventional practice – Results of a European Association of Percutaneous Cardiovascular Interventions (EAPCI) and Japanese Association of Cardiovascular Interventions and Therapeutics (CVIT) Clinical Practice Survey



Factors limiting the clinical use of IVUS / OCT



MUCHAS GRACIAS

- **Dr Daniel Aníbal Zanuttini**
- Director del Departamento de Cardiología Intervencionista y Hemodinamia. ICSB.
 - Sanatorio Británico.
 - Rosario . Argentina
- danielzanuttini10@gmail.com



Comentarios finales

- Angioplastias guiadas por imágenes (IVUS), produce cambios en resultados largo plazo, en PCI complejas, especialmente en reducir revascularización de la lesión tratada.
- Para obtener estos beneficios, las imágenes deberían ser correctamente interpretadas, y los operadores deberían reaccionar a los resultados del IVUS.
- Guía por IVUS para lesiones complejas y detección del mecanismo de falla del stent
(Clase I, evidencia A)
PRE intervención: evaluación vaso y características lesión
POST intervención: expansión del Stent, aposición y complicaciones agudas (disección).
- Desde el momento que tomó su decisión de darle el tiempo necesario para re evaluar su caso por IVUS, intente identificar las diferentes imágenes / complicaciones.

Take Home Message

- 1. Total amount of calcium volume (arc, length, thickness) predicts stent expansion.**
- 2. Though relatively infrequent, thick eccentric calcium along with vessel negative remodeling also predicts stent under-expansion.**
- 3. Eruptive (or active) calcified nodule has poor outcome compared with non-eruptive (healed) calcified nodule.**
- 4. Calcified nodule develops from calcified plaque and stent edges**

INDICACIONES

- **DIAGNÓSTICO**

Evaluación de lesiones Intermedias (40-70%)

Evaluación de lesiones ambiguas y morfologías inusuales

Evaluación de vasculopatía post trasplante

- **INTERVENCIÓN**

Evaluación del tamaño de vaso

Evaluación de las características de la placa Evaluación del mecanismo de reestenosis y/o trombosis intrastent

Guía para la correcta implantación de stents coronarios

Cobertura completa de la lesión

Evaluación de las complicaciones post colocación de stent

- **INVESTIGACIÓN**

FUNCIONALES: FFR-iFR-RFR

ANATÓMICOS: IVUS - OCT

Long-Term Follow-Up After Percutaneous Transluminal Coronary Angioplasty Was Not Performed Based on Intravascular Ultrasound Findings

Importance of Lumen Dimensions

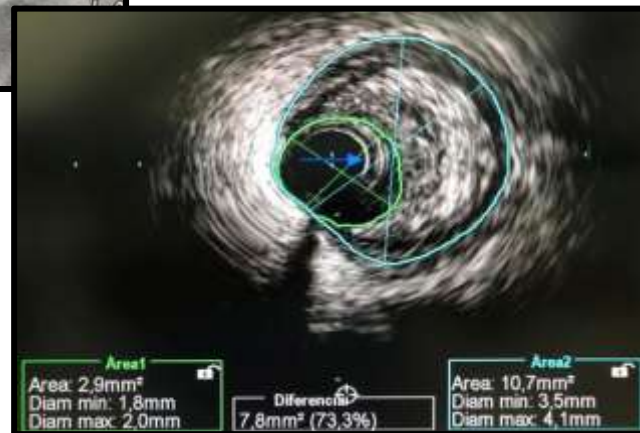
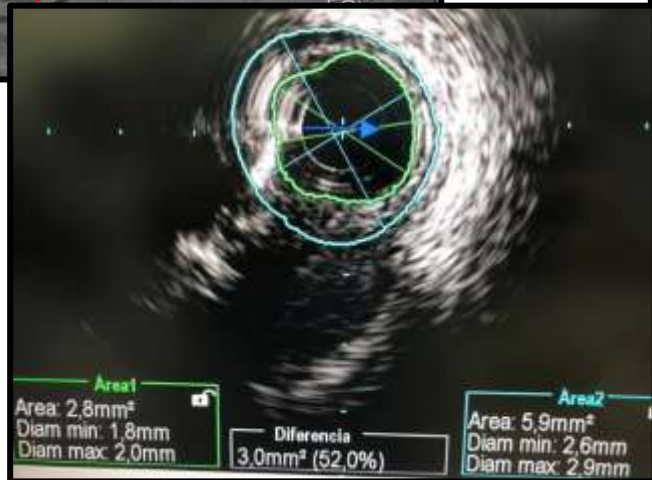
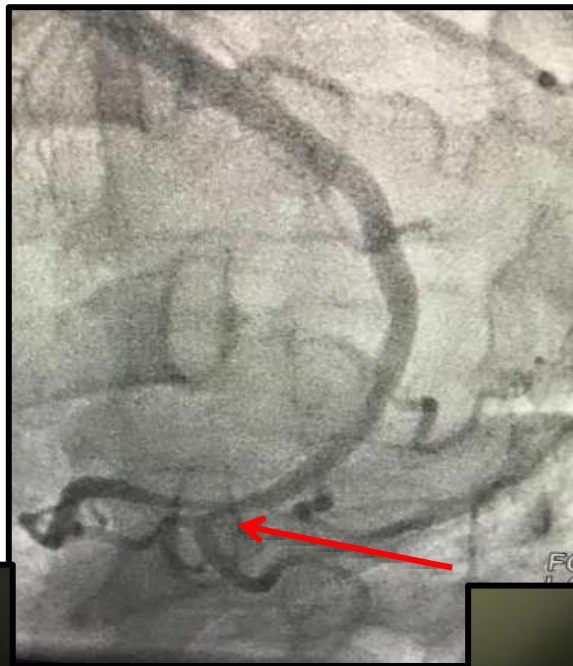
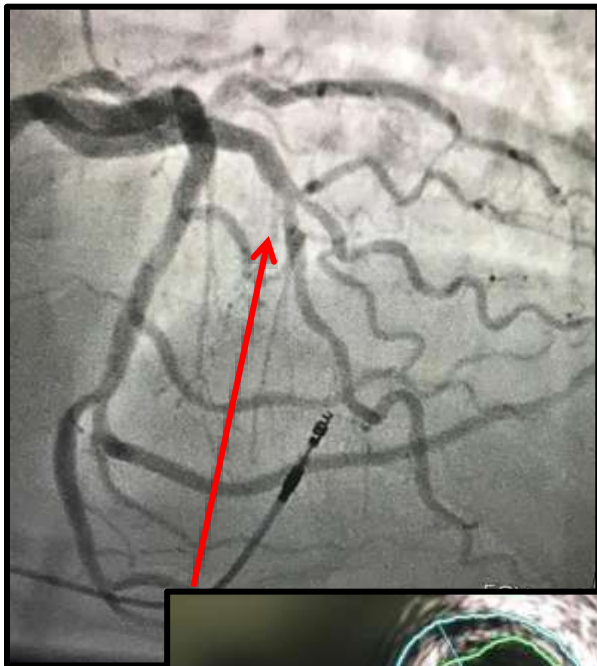
Andrea S. Abizaid, MD; Gary S. Mintz, MD; Roxana Mehran, MD; Alexandre Abizaid, MD; Alexandra J. Lansky, MD; Augusto D. Pichard, MD; Lowell F. Satler, MD; Hongsheng Wu, PhD; Chrysoula Pappas, MD; Kenneth M. Kent, MD; Martin B. Leon, MD

Background—Angiography is limited in determining the anatomic severity of coronary artery stenoses. Clinical decision-making in patients with symptoms and intermediate lesions remains challenging.

Methods and Results—The current analysis included 300 patients (357 intermediate native artery lesions) in whom intervention was deferred based on intravascular ultrasound (IVUS) findings. Standard clinical, angiographic, and IVUS parameters were collected. Patients were followed for >1 year. Events occurred in 24 patients (8%). They included 2 cardiac deaths, 4 myocardial infarctions, and 18 target-lesion revascularizations (TLR; 12 percutaneous transluminal coronary angiographies and 6 coronary artery bypass grafts; only 3 TLRs occurred within 6 months after the IVUS study). All significant univariate clinical, angiographic, and IVUS parameters ($P<0.05$) were tested in multivariate models. These included diabetes mellitus, IVUS lesion lumen area, maximum lumen diameter, minimum lumen diameter, plaque area, plaque burden, and area stenosis (AS). No angiographic measurement was significant at $P<0.05$. The only independent predictors of an event (death, myocardial infarction, or TLR) were IVUS minimum lumen area and AS. The only independent predictors of TLR were diabetes mellitus, IVUS minimum lumen area, and AS. In 248 lesions with a minimum lumen area ≥ 4.0 mm², the event rate was only 4.4% and the TLR rate 2.8%.

Conclusions—Long-term follow-up after IVUS-guided deferred interventions in patients with de novo intermediate native artery lesions showed a low event rate. In patients with a minimum lumen area ≥ 4.0 mm², the event rate was especially low. IVUS imaging is an acceptable alternative to physiological assessment in these patients. (*Circulation*. 1999;100:256-261.)

DIAGNÓSTICO



FFR

Evaluación imagenológica: FUNCIONALES





Guidelines on myocardial revascularization

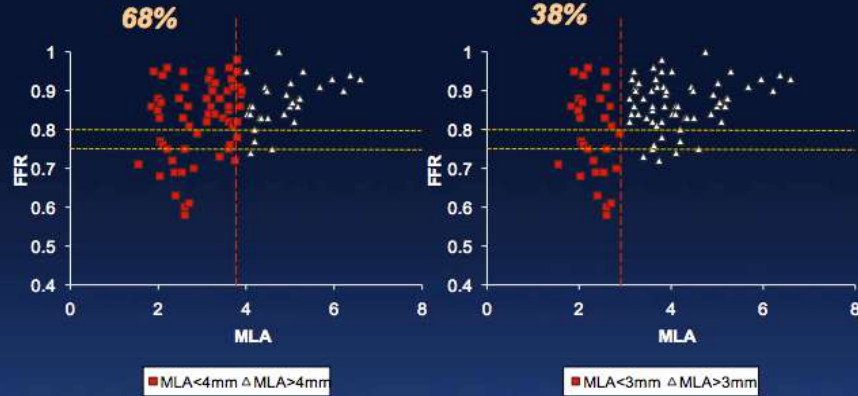
The Task Force on Myocardial Revascularization of the European Society of Cardiology (ESC) and the European Association for Cardio-Thoracic Surgery (EACTS)

Developed with the special contribution of the European Association

Table 33 Recommendations for specific percutaneous coronary intervention devices and pharmacotherapy

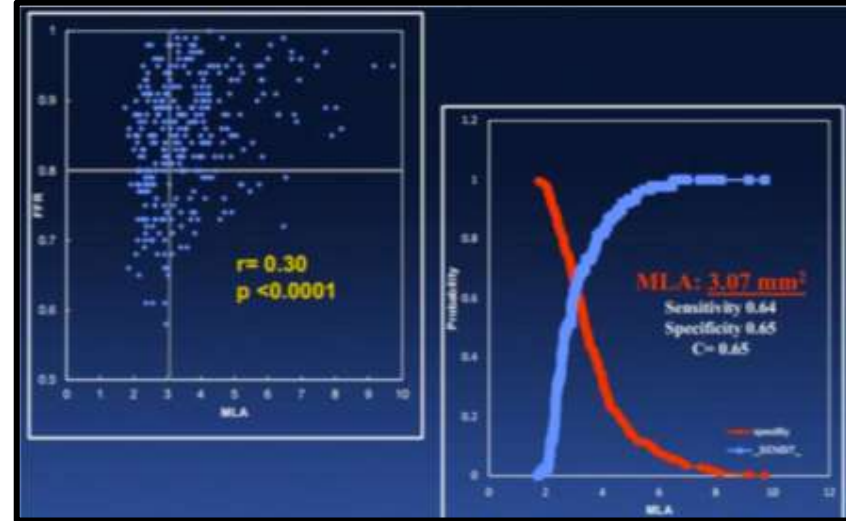
	Class ^a	Level ^b	Ref. ^c
FFR-guided PCI is recommended for detection of ischaemia-related lesion(s) when objective evidence of vessel-related ischaemia is not available.	I	A	15, 28

IVUS vs. FFR for intermediate coronary stenosis



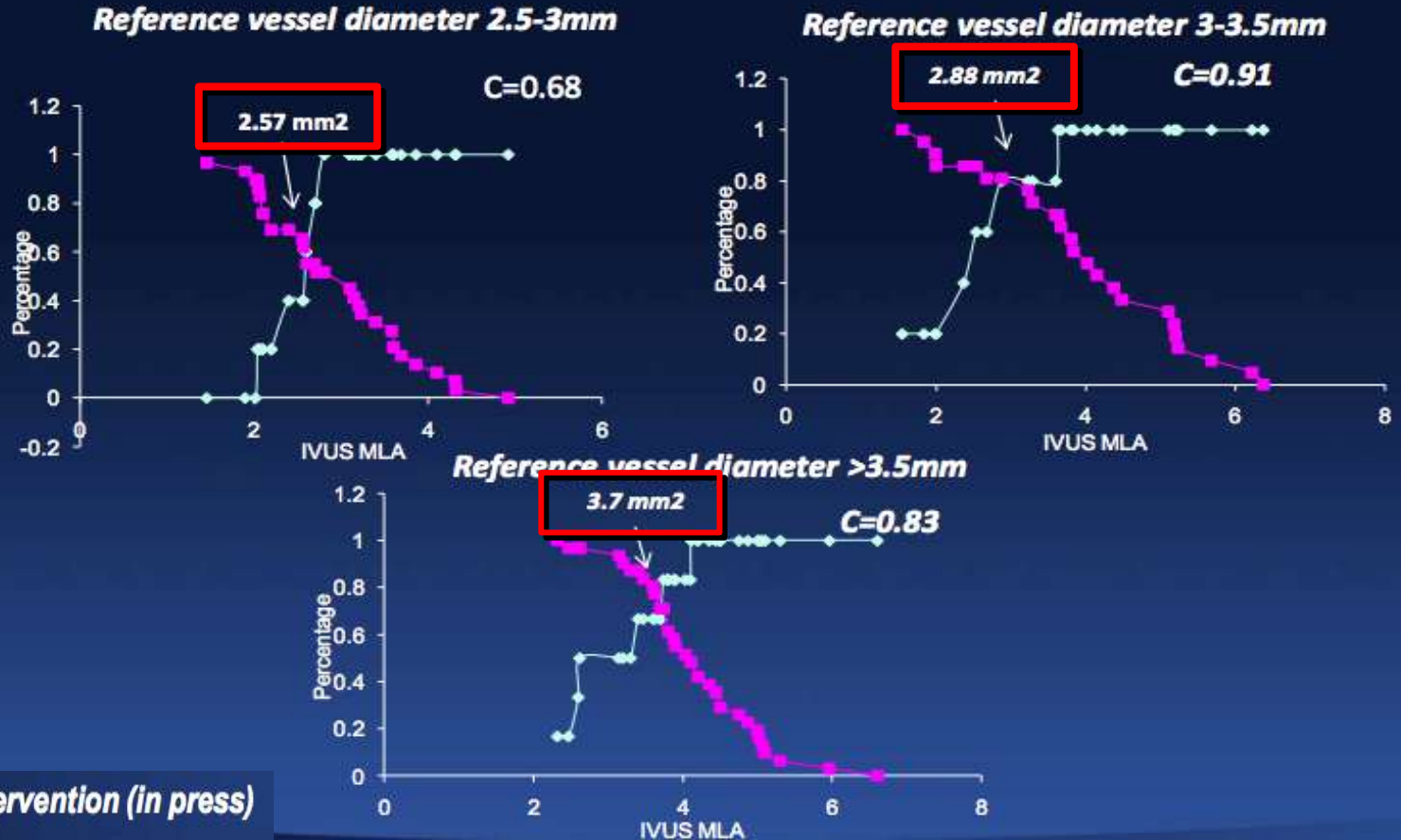
42 (67.7%) with MLA < 4mm²
had non ischemic FFR > 0.8
47 (75.8%) with MLA < 4mm²
had non ischemic FFR > 0.75

11 (37.9%) with MLA < 3mm²
had non ischemic FFR > 0.8
17 (58.6%) with MLA < 3mm²
had non ischemic FFR > 0.75



Ben-Dor Euro intervention (in press)

IVUS cut-off for ischemic FFR <0.75 by reference vessel diameter



iFR

Relação entre a pressão distal à estenose e a pressão medida na ponta do cateter-guia em condições de **repouso**, em uma janela de tempo específica da diástole, quando a

transmissão de ondas de pulso é ausente
(wave-free period)

e o fluxo coronário tem sua velocidade mais alta.

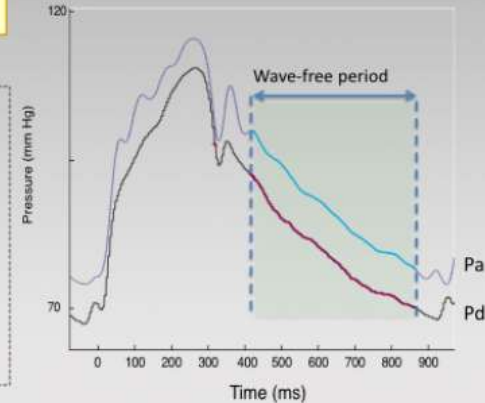
Índice instantâneo no período diastólico “sem ondas” do ciclo cardíaco (iFR). É uma alternativa que não requer adenosina nem outro vasodilatador: nesse período a resistência da microcirculação é caracteristicamente estável e mínima.

iFR = Instantaneous Wave-Free Ratio

$$iFR = \frac{Pd_{\text{wave free period}}}{Pa_{\text{wave free period}}}$$

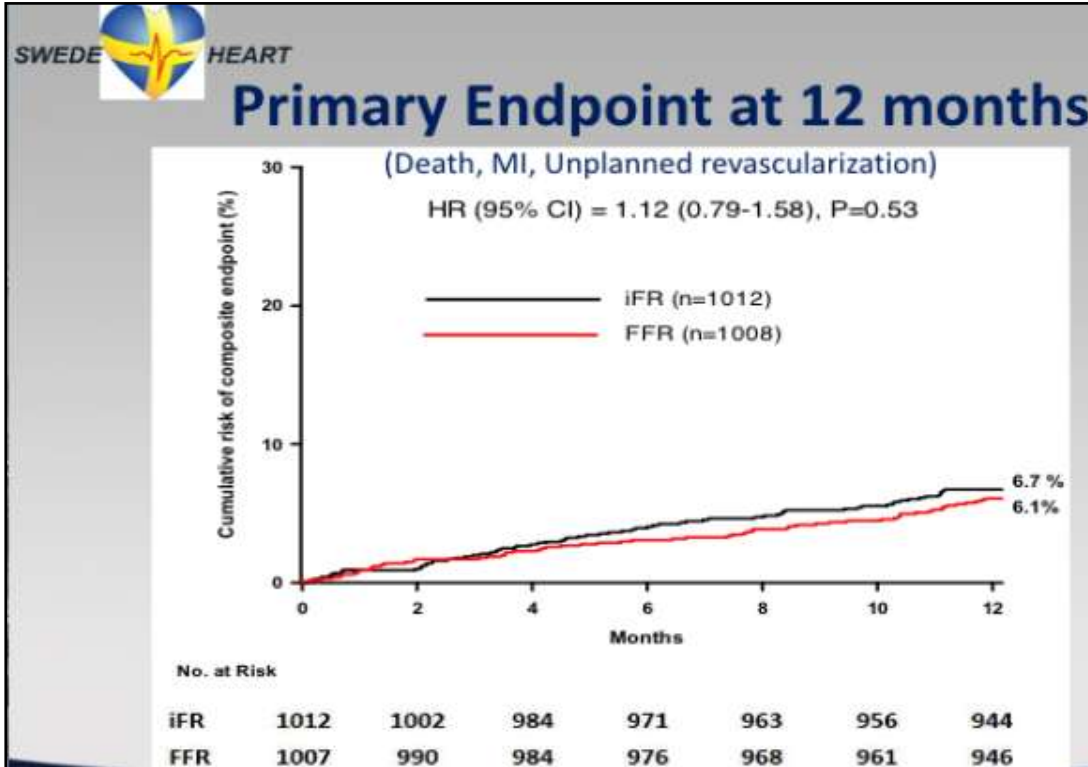
Definition:

Instantaneous pressure ratio, across a stenosis during the wave-free period, when resistance is naturally constant and minimised in the cardiac cycle



DEFINE-FLAIR (n = 2.492)

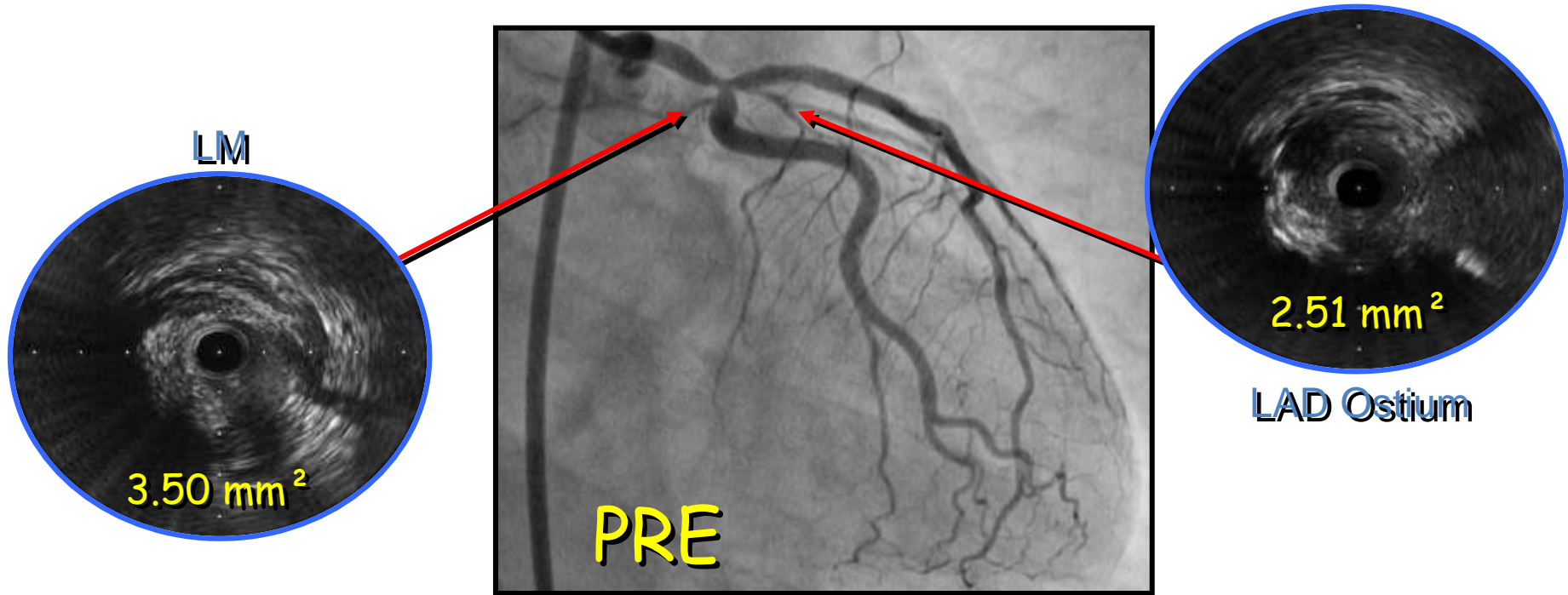
SWEDEHEART (n = 2,037)



Corte 0,89

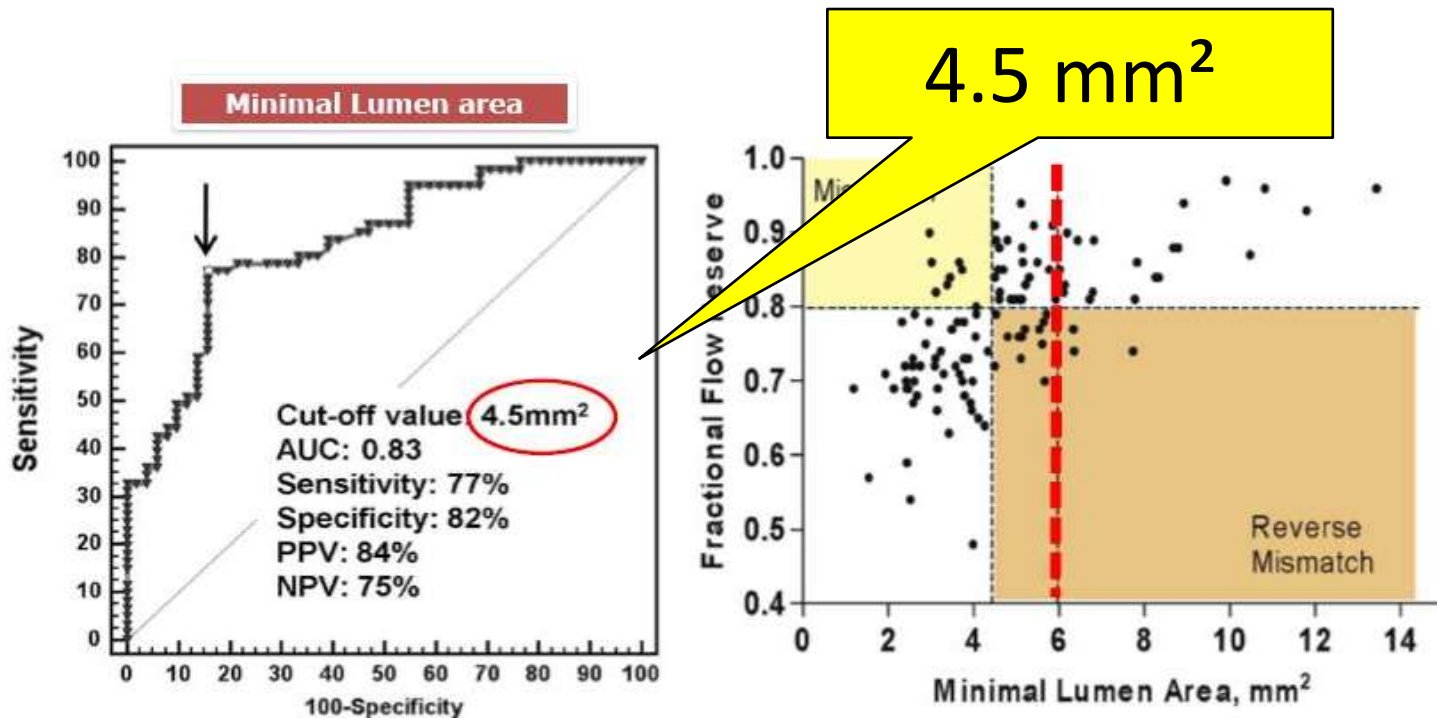
DIAGNÓSTICO

2) Evaluación de lesiones ambiguas y morfologías inusuales



Intravascular Ultrasound-Derived Minimal Lumen Area Criteria for Functionally Significant Left Main Coronary Artery Stenosis

112 patients with isolated ostial and shaft intermediate LMCA stenosis (angiographic diameter stenosis of 30% to 80%) who underwent IVUS and FFR measurement.



IVUS - OCT

Evaluación de lesiones Intermedias

Evaluación de lesiones ambiguas y morfologías inusuales

Evaluación de vasculopatía post trasplante

- DIAGNÓSTICO

- INTERVENCIÓN

PRE

Evaluación del tamaño de vaso (diámetro/longitude)

Evaluación de las características de la placa

Evaluación del mecanismo de restenosis.

Evaluación del mecanismo de trombosis intrastent

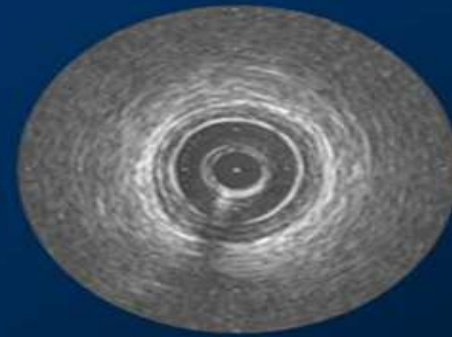
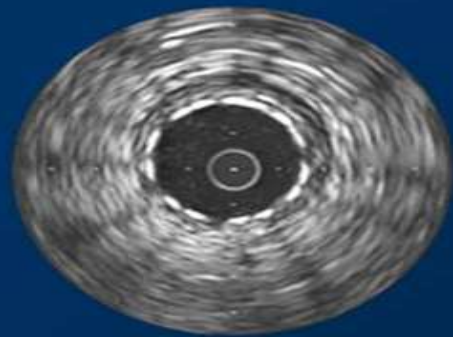
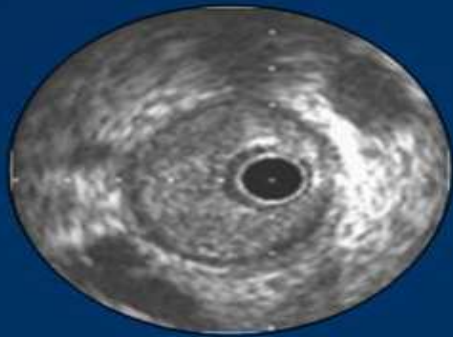
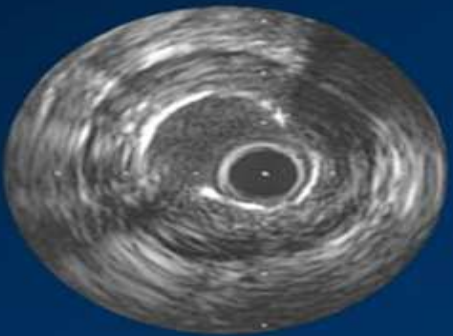
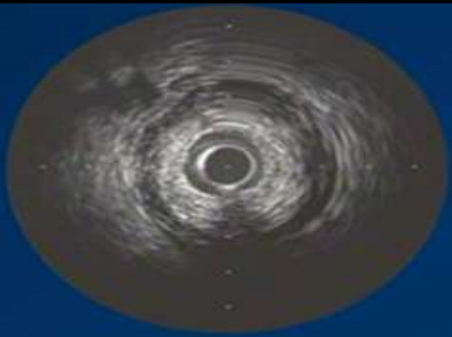
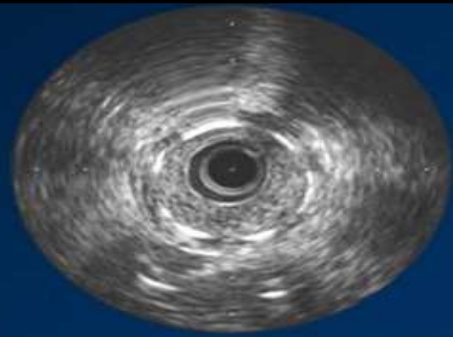
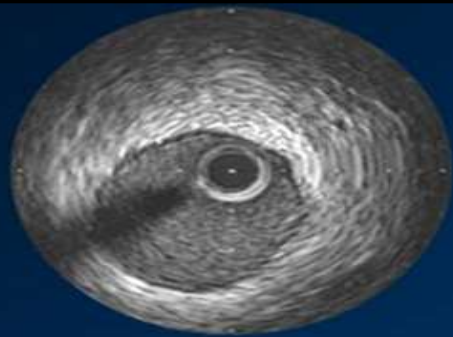
POST

Guía para la correcta implantación de stents coronarios

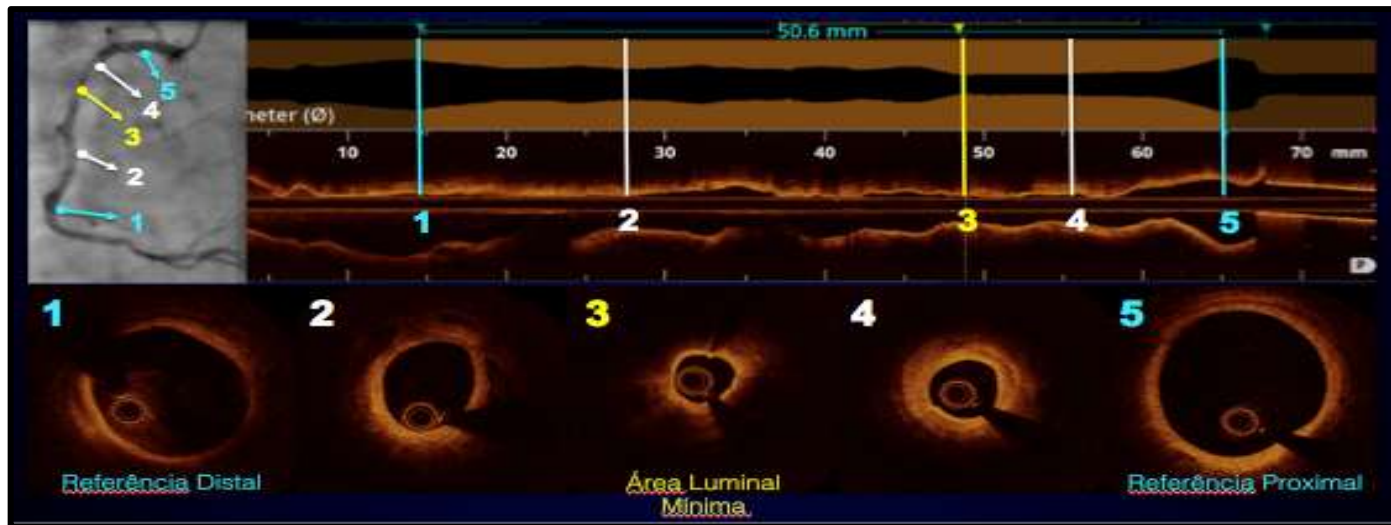
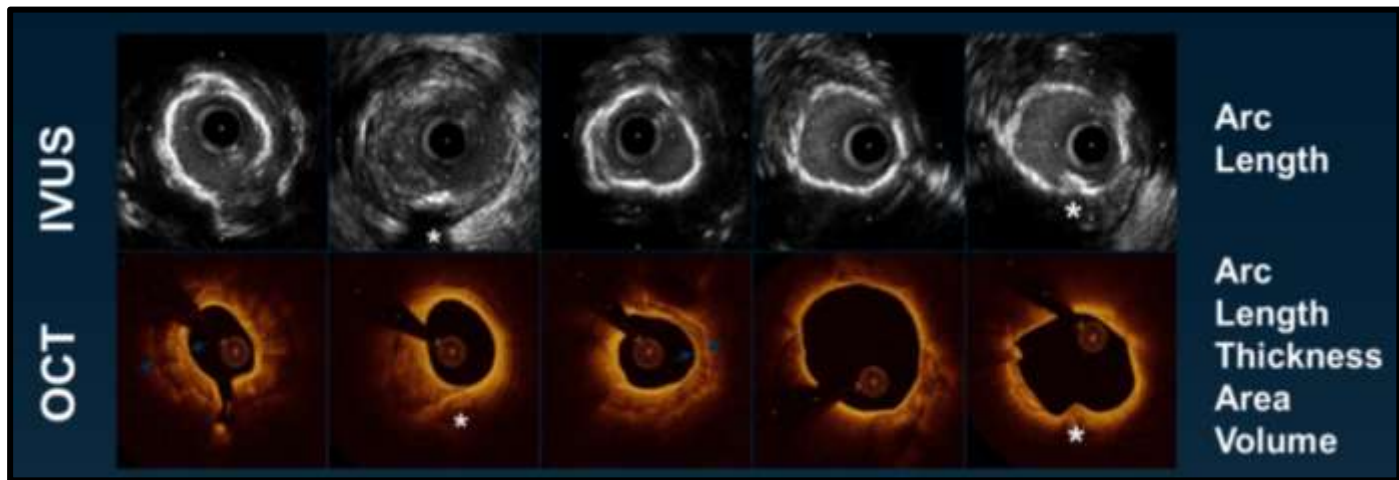
Cobertura completa de la lesión

Evaluación de las complicaciones post colocación de stent

- INVESTIGACIÓN

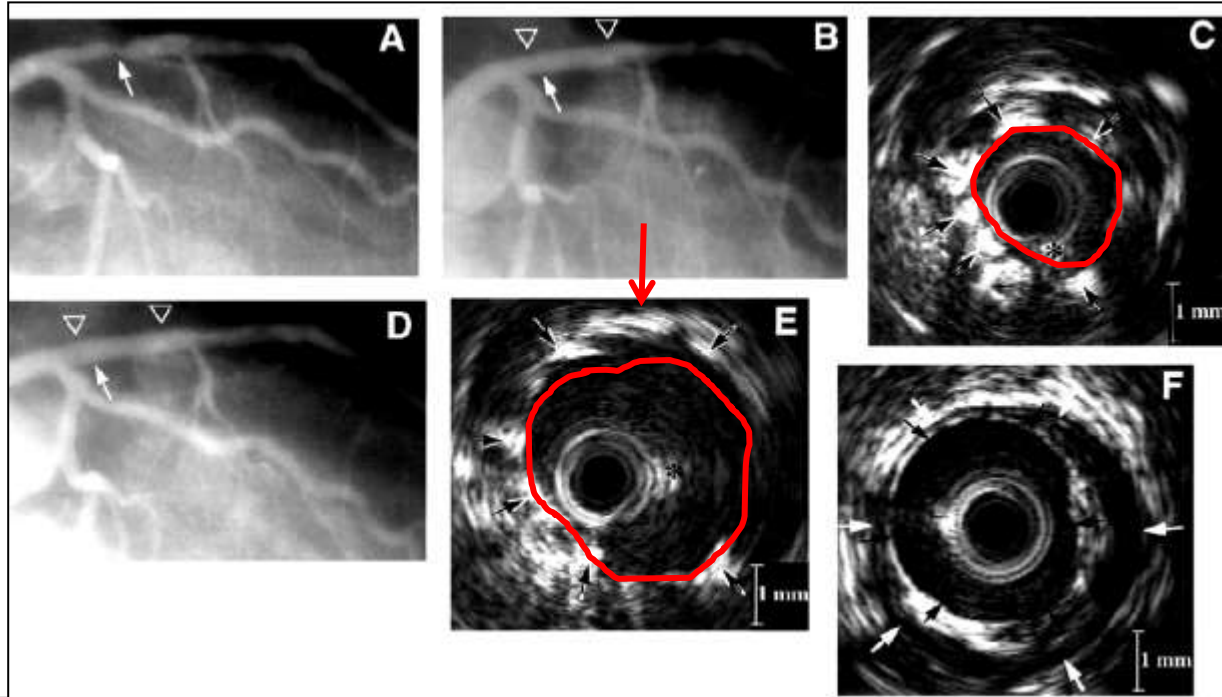


Calcio



Intracoronary Stenting Without Anticoagulation Accomplished With Intravascular Ultrasound Guidance

Antonio Colombo, MD; Patrick Hall, MD; Shigeru Nakamura, MD; Yaron Almagor, MD; Luigi Maiello, MD; Giovanni Martini, CCP; Antonio Gaglione, MD; Steven L. Goldberg, MD; Jonathan M. Tobis, MD



Despite this aggressive inflation approach, 40% of the stents with an acceptable angiographic result still required additional dilatation with higher pressures or, less commonly, a dilatation with a larger balloon

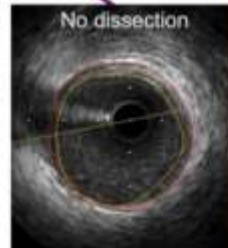
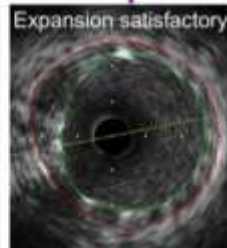
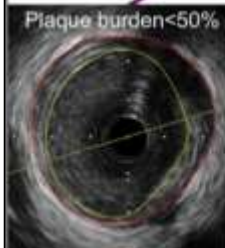
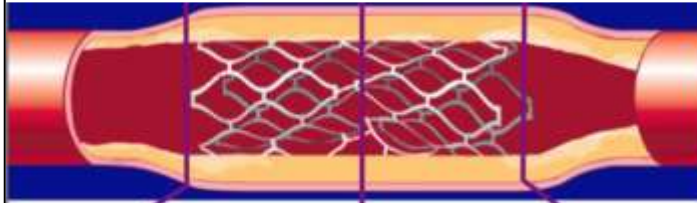
Guía para la correcta implantación de stent coronario

APOSICIÓN. EXPANSIÓN

Cobertura completa de la lesión

Diseción. Protrusión de placa. Trombo

ULTIMATE trial



1. Minimal lumen CSA in stented segment $>5.0 \text{ mm}^2$, or 90% of distal reference lumen CSA;
2. Plaque burden at the 5-mm proximal or distal to the stent edge $<50\%$;
3. no edge dissection involving media with length $>3\text{mm}$.

IVUS Predictors of DES Thrombosis & Restenosis

• DES Thrombosis

• DES Restenosis

Underexpansion
(CSA \leq 5 mm²)

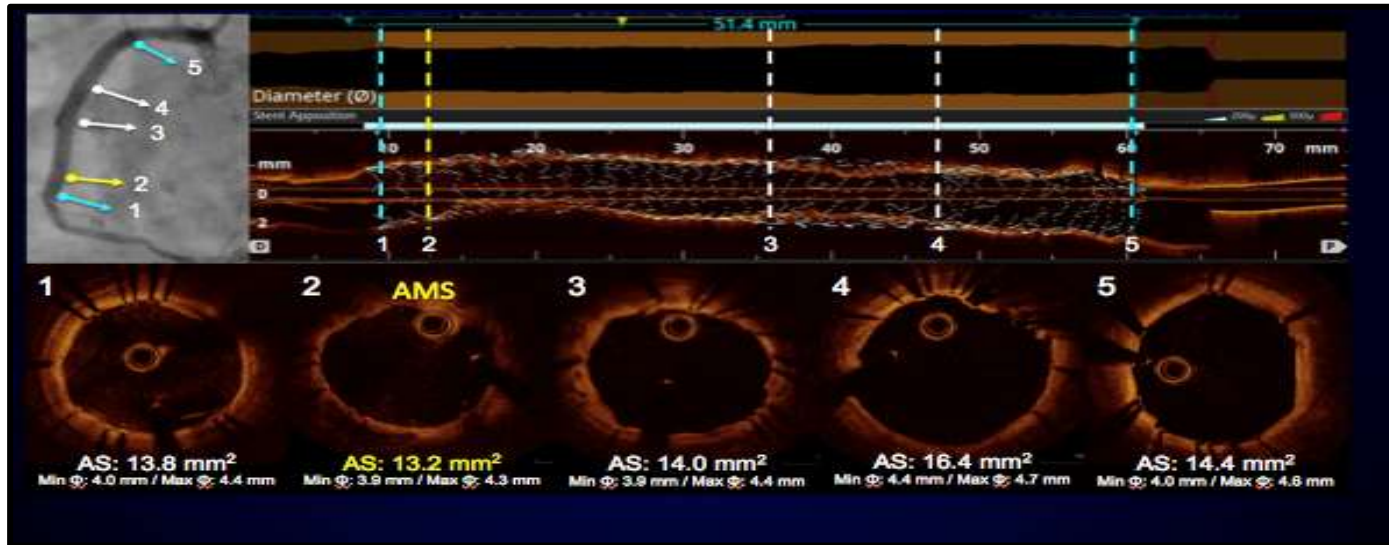
- Fujii et al. J Am Coll Cardiol 2005;45:995-8
- Takebayashi et al, AJC 2005
- Kim et al AJC, 2006
- Okabe et al., Am J Cardiol. 2007;100:615-20
- Liu et al. JACC Interventions 2009;2:428-34

- Sonoda et al. J Am Coll Cardiol 2004;43:1959-63
- Fujii et al. Circulation 2004; 109:1085-1088
- Hong et al. Eur Heart J 2006; 27:1305-10
- TAXUS IV, V, VI and ATLAS WH, LL, DS meta-analysis. JACC CardiovascInterv. 2009;2:1269-75
- Doi et al. JACC Cardiovasc Interv. 2009;2:1269-75

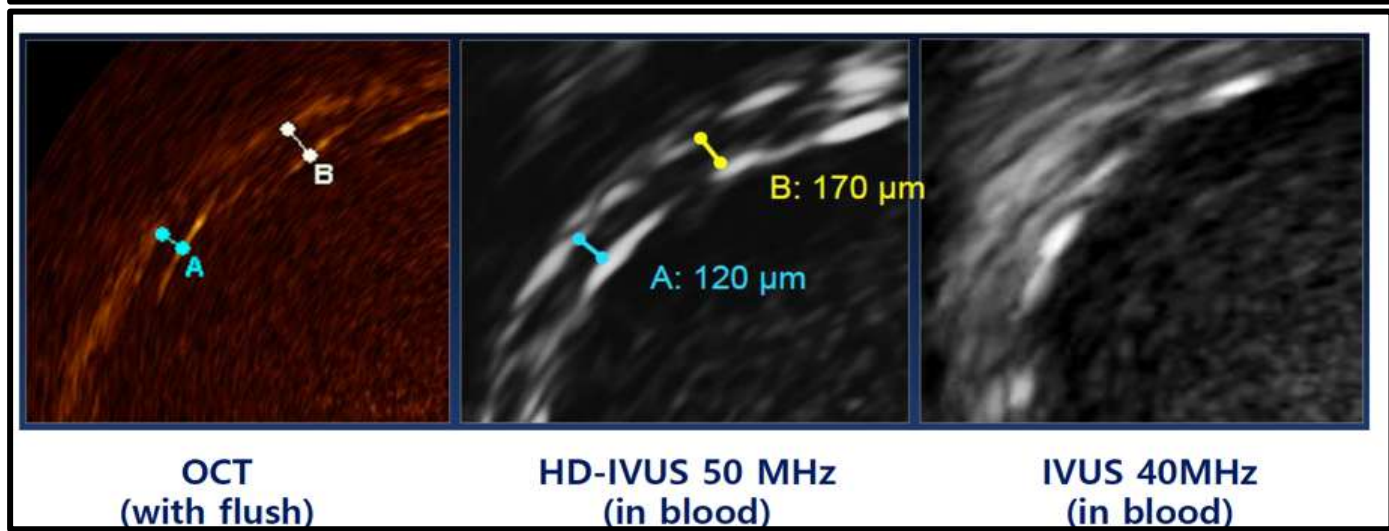
Peri-stent optimization
- Remained lesions
- Geographic miss
- Large plaque burden...

- Fujii et al. J Am Coll Cardiol 2005;45:995-8
- Okabe et al., Am J Cardiol. 2007;100:615-20
- Liu et al. JACC Interventions 2009;2:428-34

- Sakurai et al. Am J Cardiol 2005; 96:1251-3
- Costa et al, Am J Cardiol, 2008; 101:1704-11
- Liu et al, Am J Cardiol, 2009;103:501-6



Aposición del Stent



ILUMIEN III: OPTIMIZE PCI

A Randomized Controlled Trial
Comparing OCT-Guided, IVUS-Guided
and Angiography-Guided PCI

Ziad A Ali, MD, DPhil

Columbia University Medical Center
New-York Presbyterian Hospital
Cardiovascular Research Foundation

Background

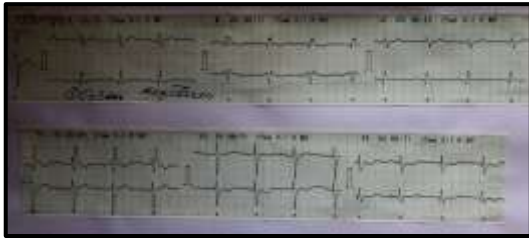
- PCI is most commonly guided by angiography alone.
- IVUS-guidance has been shown to reduce major adverse cardiovascular events (MACE) after PCI.
- OCT provides superior resolution to IVUS, but data supporting improved or equivalent outcomes are lacking.

Conclusions

- OCT-guided PCI using a specific EEL-based stent optimization strategy was non-inferior to IVUS-guided PCI for achieving MSA.
- OCT-guided PCI resulted in superior stent expansion and procedural success compared to angiography-guided PCI.
- OCT-guided PCI resulted in the fewest untreated major dissections and areas of major stent malapposition.

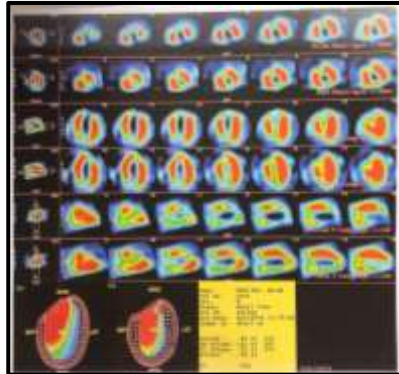
IVUS en lesión de bifurcación

Trabajo reciente de identificación de predictores por IVUS de oclusión aguda de ramo lateral en lesiones de bifurcación, post implante de stent en ramo principal. Conclusión: el grosor de la placa de MV en el sitio de la unión y la relación del diámetro de SB son factores predictivos de oclusión aguda de SB justo después del cruce del stent único.



ETE 12/09/18
FEY 62%.

Insuficiencia mitral moderada a severa, mixomatosa.
Insuficiencia aortica leve.
Leve aumento AI



SPECT 06/08/18
Esfuerzo con infra ST,
ISQUEMIA severa
extensa
Pequeña necrosis antero lateral

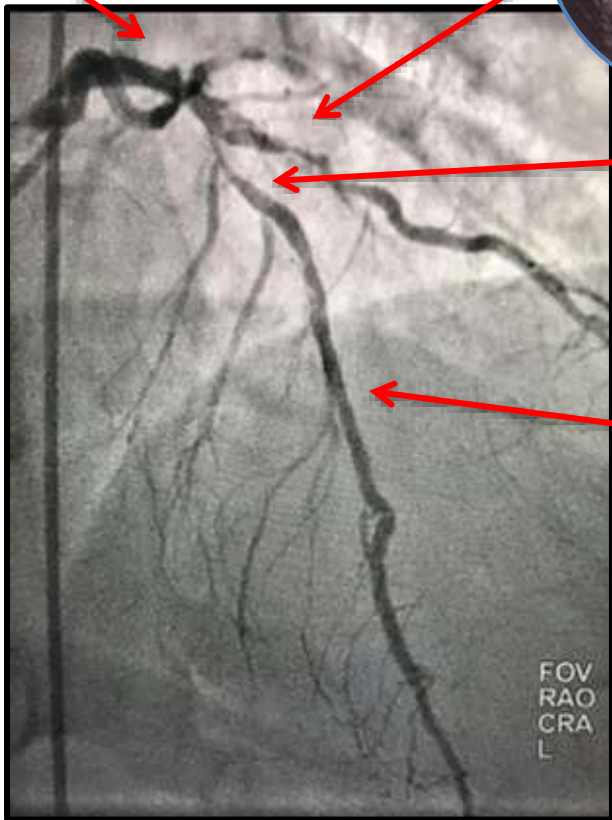
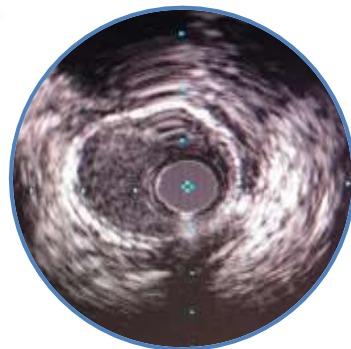
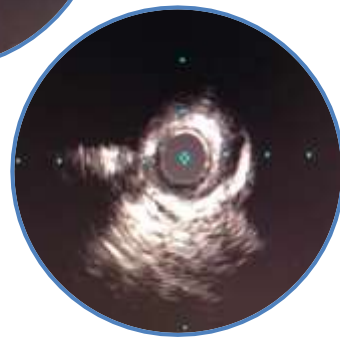
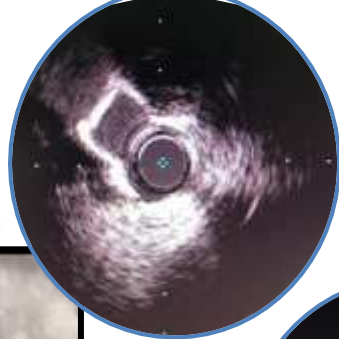
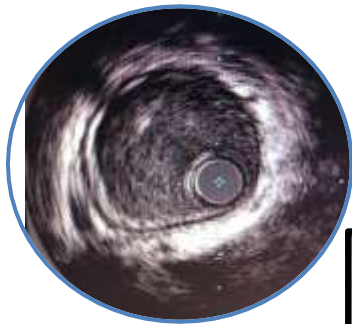
Resultados:

Negativa a CABG.

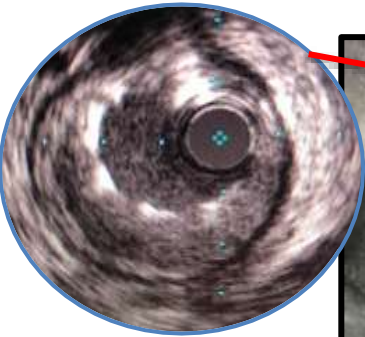
22/09/18

ATC CD con 2 DES

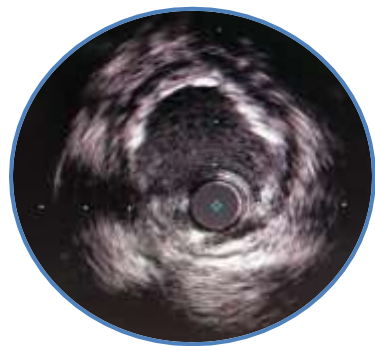
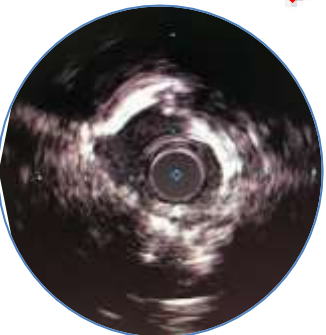
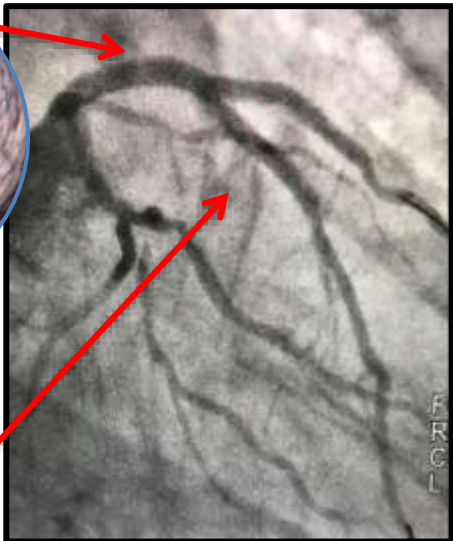




FOV
RAO
CRA
L



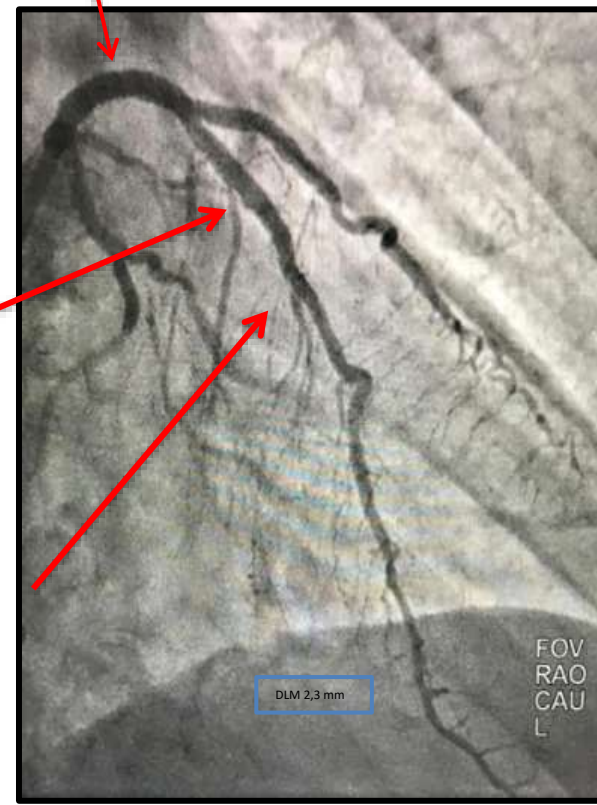
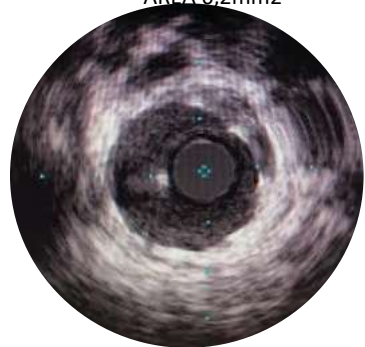
DLM 2,1 mm
AREA 5,5 mm²



DLM 3,2 mm
AREA 8,5 mm²



AREA 6,2mm²



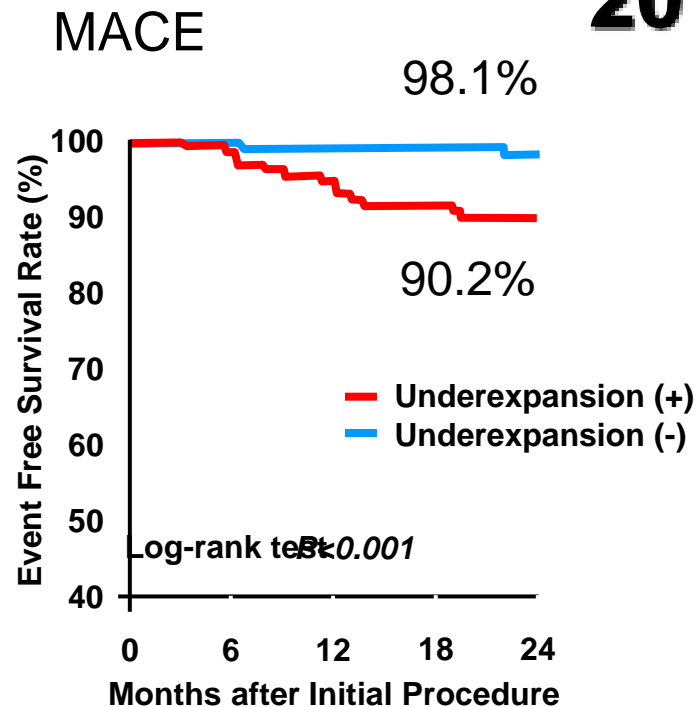
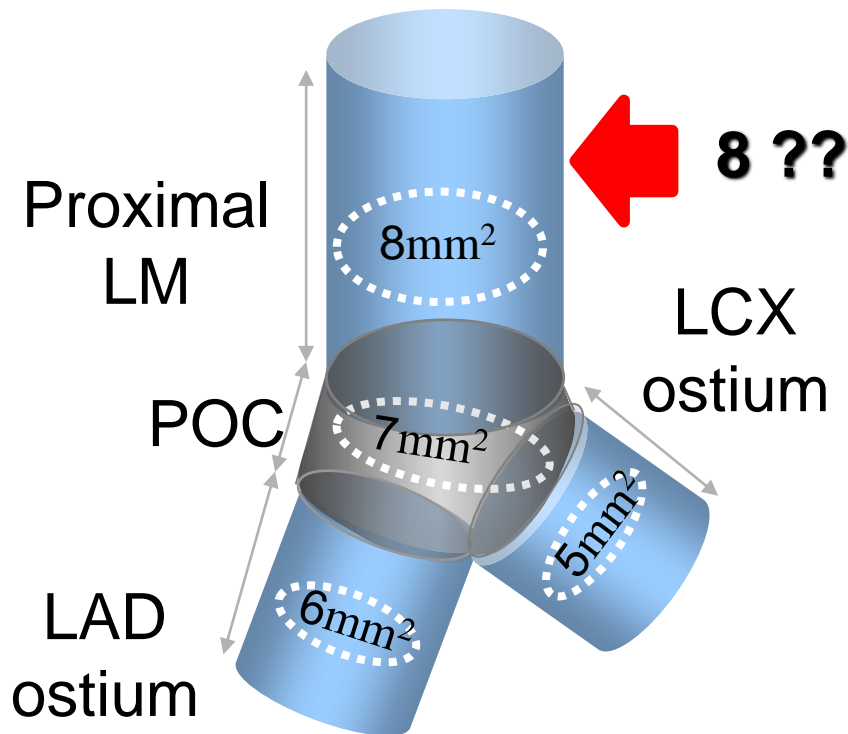
DLM 2,3 mm

FOV
RAO
CAU
L

Guía para la correcta implantación de stent coronario

Seung-Jung Park Group

2011



Add 0.5 mm² to each location for non-Asian (or larger BSA) pts

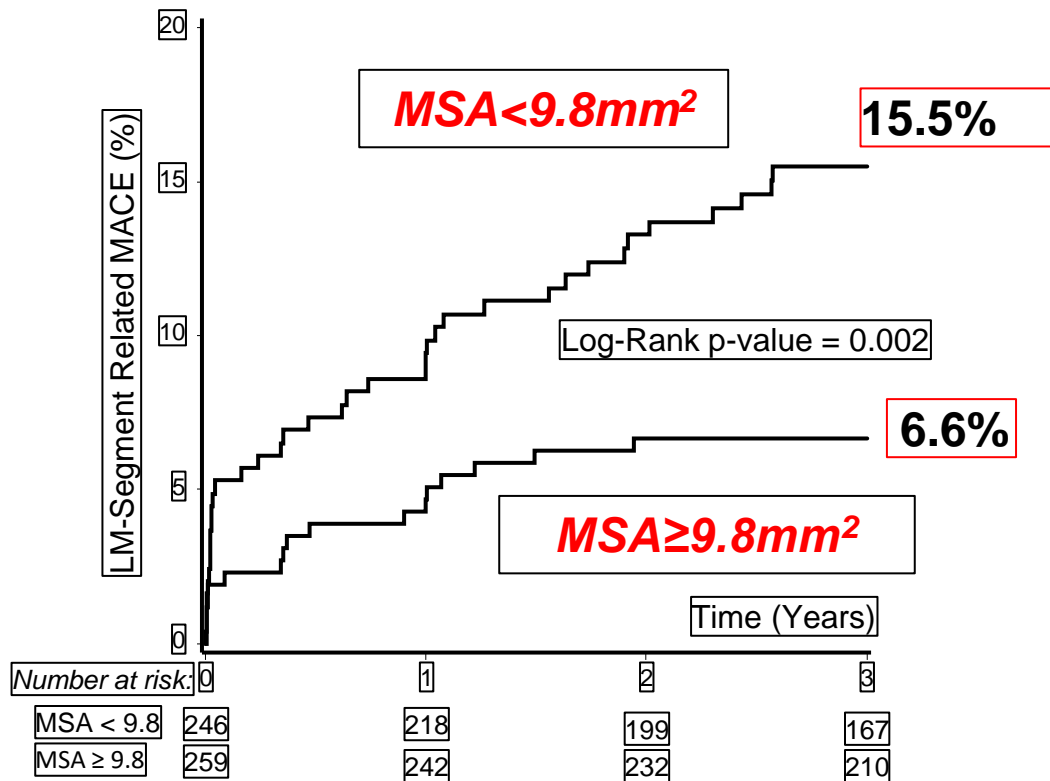
No. at risk

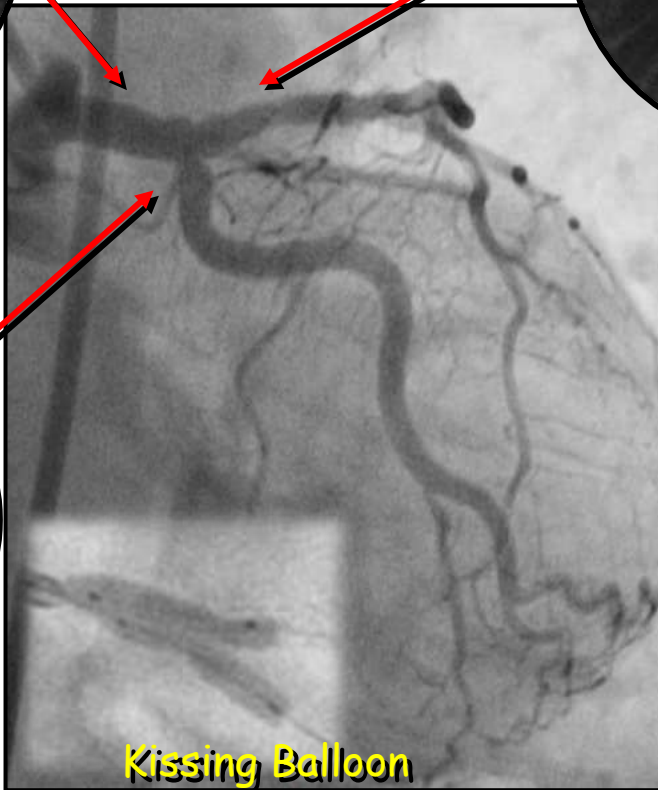
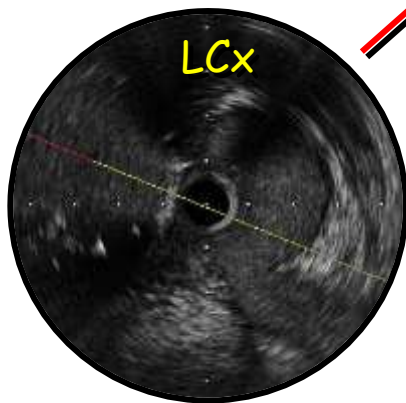
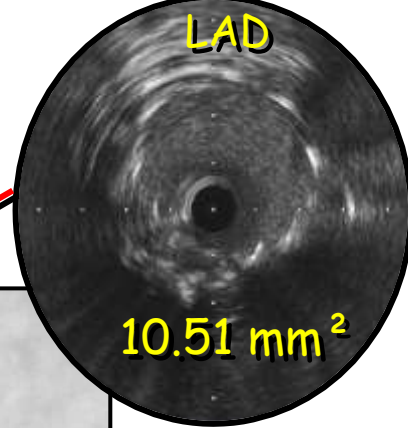
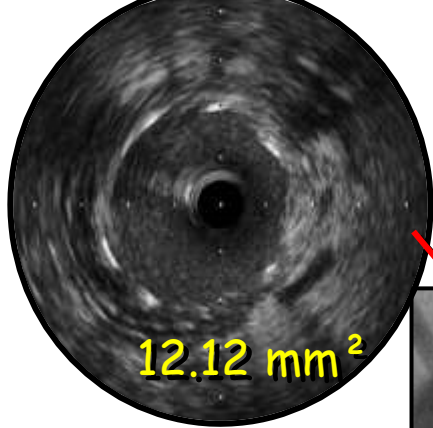
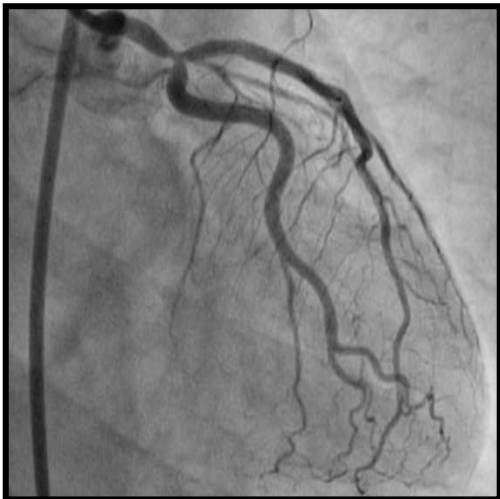
Underexpansion (+)	133	131	126	121	75
Underexpansion (-)	260	260	255	246	129

EXCEL: MSA to Predict LMCA-Related Events

LM THE BIG IS BETTER

BIGGER IS BETTER
(Donald S Baim) Circulation
1992;86:1827-35)





Promus
Element
4.0 * 20

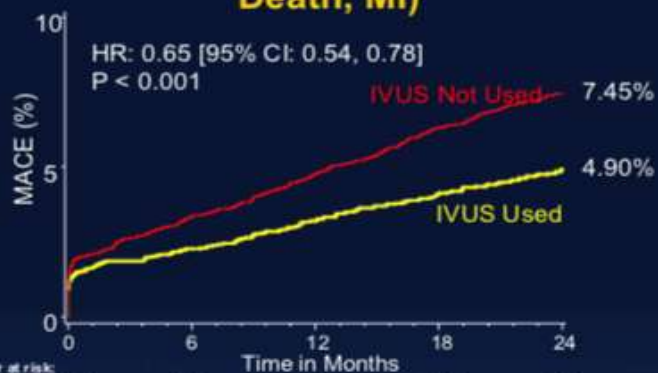
Current Guidelines for Use of IVUS and OCT

	ESC	AHA/ACC
IVUS	<p>Class IIa (level of evidence: B) IVUS in selected patients to optimise stent implantation. IVUS to assess severity and optimise treatment of unprotected LMS lesions</p> <p>Class IIa (level of evidence: C) IVUS to assess mechanisms of stent failure.</p>	<p>Class IIa (level of evidence: B) IVUS is reasonable for the assessment of angiographically indeterminant left main CAD</p> <p>IVUS and coronary angiography are reasonable 4 to 6 weeks and 1 year after cardiac transplantation to exclude donor CAD, detect rapidly progressive cardiac allograft vasculopathy and provide prognostic information</p> <p>Class IIa (level of evidence: B) IVUS is reasonable to determine the mechanism of stent restenosis</p> <p>Class IIb (level of evidence: B) IVUS may be reasonable for the assessment of non-left main coronary arteries with angiographically intermediate coronary stenoses (50–70 % diameter stenosis)</p> <p>IVUS may be considered for guidance of coronary stent implantation, particularly in cases of left main coronary artery stenting</p> <p>Class IIb (level of evidence: C) IVUS may be reasonable to determine the mechanism of stent thrombosis</p>
OCT	<p>Class IIa (level of evidence: C) OCT to assess mechanisms of stent failure</p> <p>Class IIb (level of evidence: C) OCT in selected patients to optimise stent implantation</p>	<p>The appropriate role for optical coherence tomography in routine clinical-decision making has not been established</p>

EVIDENCIAS

PARA EL USO DE IMAGENES INTRACORONARIAS

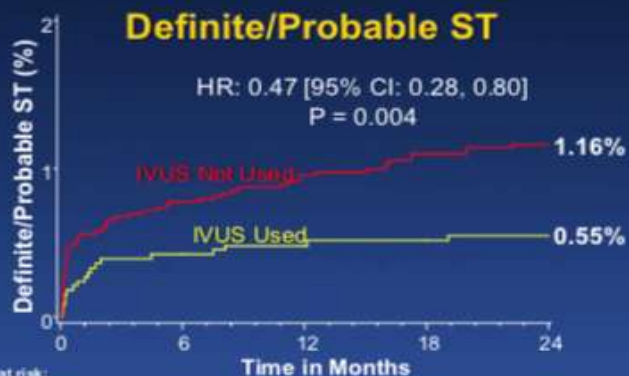
MACE (Definite/Probable ST, Cardiac Death, MI)



Number at risk:	0	6	12	18	24
IVUS Used	3361	3206	3117	2988	1739
IVUS Not Used	5221	4912	4740	4537	2177

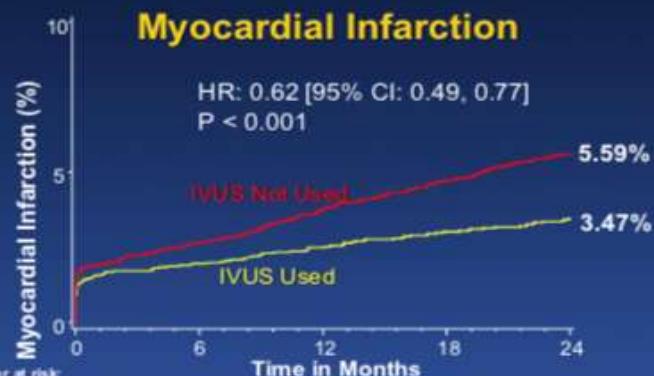
ADAPT-DES (3361 pts treated with IVUS-guidance vs 5221 pts treated with angiographic guidance)
All-comers

Definite/Probable ST



Number at risk:	0	6	12	18	24
IVUS Used	3361	3260	3182	3065	1791
IVUS Not Used	5221	5019	4886	4713	2279

Myocardial Infarction



Number at risk:	0	6	12	18	24
IVUS Used	3361	3209	3120	2991	1739
IVUS Not Used	5221	4916	4744	4541	2179

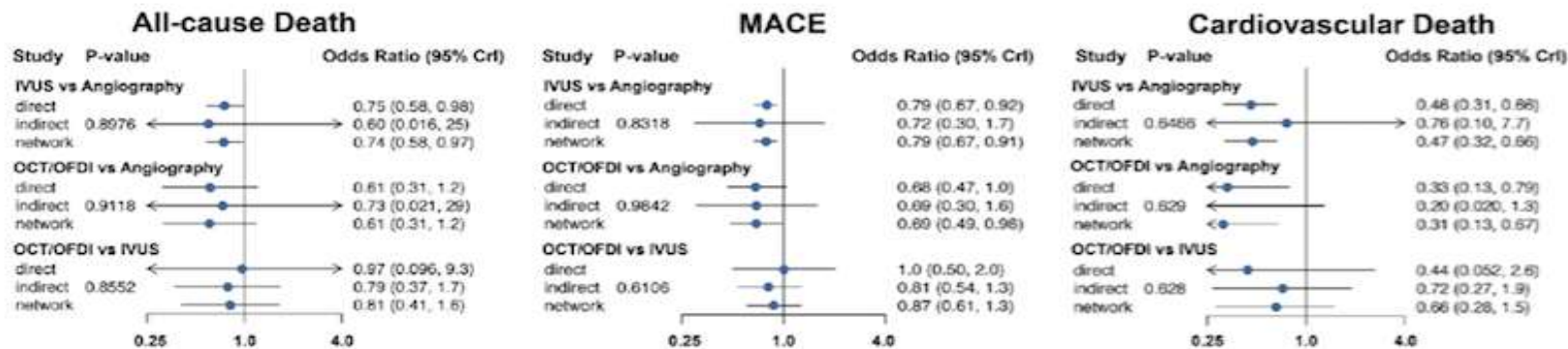
Clinical Outcomes Following Intravascular Imaging-Guided Versus Coronary Angiography-Guided Percutaneous Coronary Intervention With Stent Implantation



2017



A Systematic Review and Bayesian Network Meta-Analysis of 31 Studies and 17,882 Patients



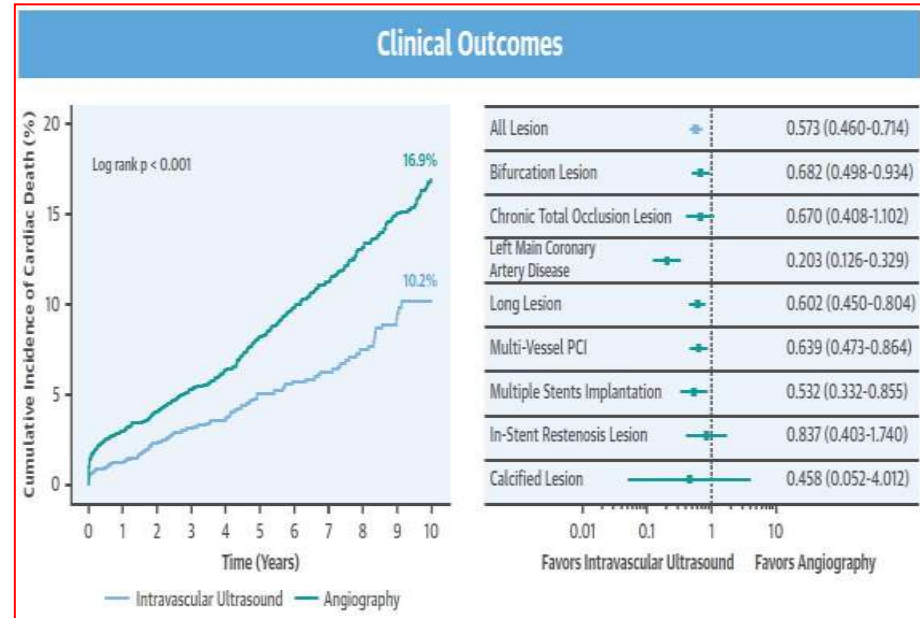
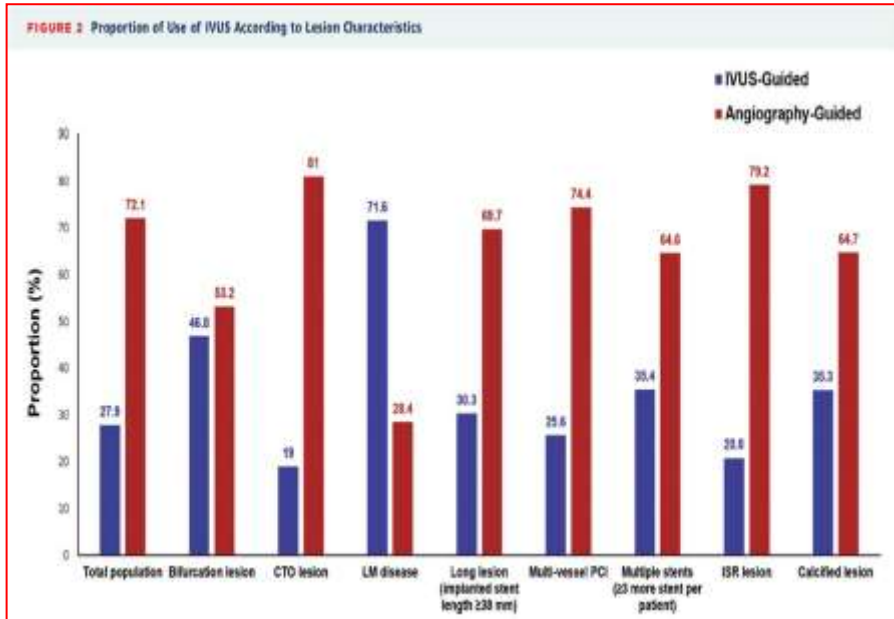
CONCLUSIONS Compared with CA, the use of intravascular imaging techniques for PCI guidance reduces the risk of cardiovascular death and adverse events. (J Am Coll Cardiol Interv 2017;10:2488-98) © 2017 by the American College of Cardiology Foundation.

IMPACT OF IVUS- GUIDED PCI on Long-Term Clinical Outcomes in Patients Undergoing Complex Procedures

2019

(IVUS-Guided - 1.674 Patients) vs (Angiography-Guided - 4.331 Patients)

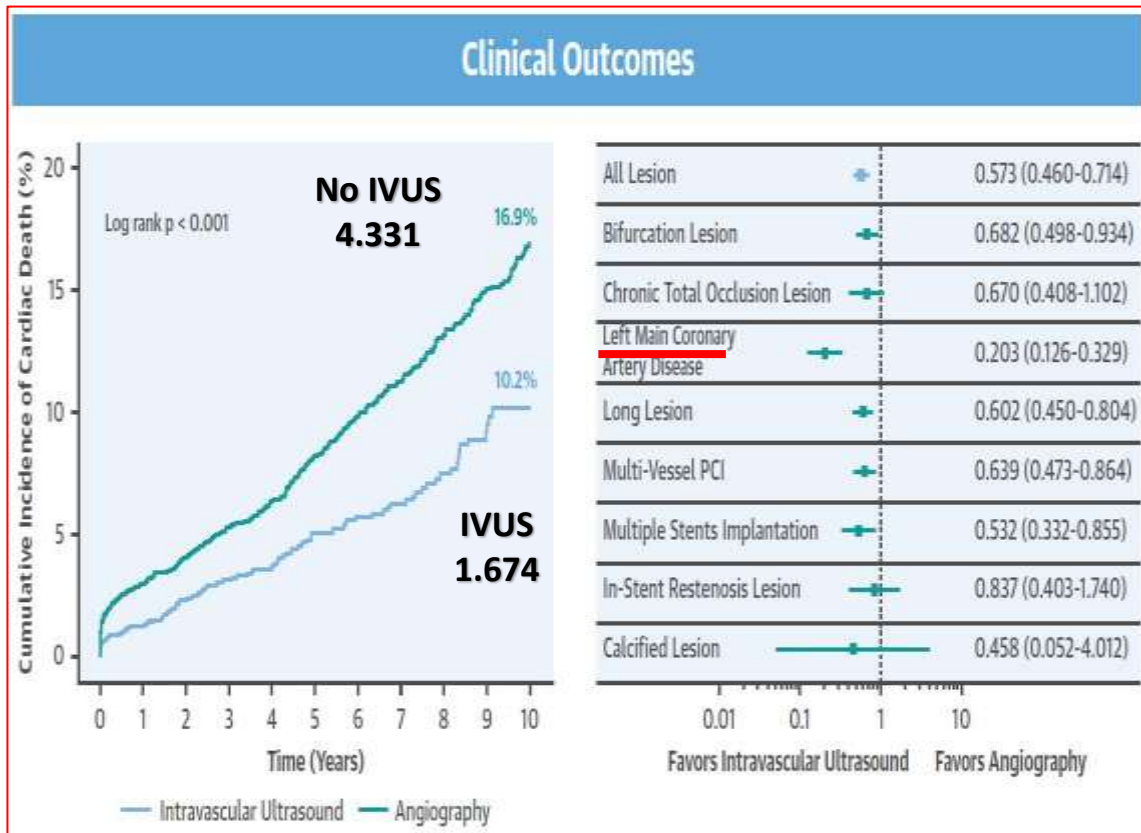
**Follow up
@ 10 years**



IMPACT OF IVUS- GUIDED PCI on Long-Term Clinical Outcomes in Patients Undergoing Complex Procedures

2019

Follow up
@ 10 years



Optimización mediante ultrasonido intravascular de la angioplastia de tronco de coronaria izquierda

Optimization by intravascular ultrasound of left main coronary artery angioplasty

Daniel A. Zanuttini, Tomas Cúneo, Luis Keller, Camila Redondo, Santiago Torres, Daniel Piskorz

Instituto de Cardiología del Sanatorio Británico SRL de Rosario, Argentina

INFORMACIÓN DEL ARTÍCULO

RESUMEN

Recibido el 21 de Marzo de 2021

Aceptado después de revisión

el 17 de Abril de 2021

www.revistafac.org.ar

Los autores declaran no tener
conflicto de intereses

Introducción: La cirugía de revascularización miocárdica es el tratamiento convencional para pacientes (p) con lesión de tronco de coronaria izquierda no protegido (TCINP). La Angioplastia Transluminal Coronaria (ATC) con stents liberadores de droga (DES) es una opción factible, con bajas tasas de revascularización debido a reestenosis de la lesión tratada, y con mortalidad similar a la cirugía. **Objetivo:** Evaluar la efectividad de ATC con DES optimizada por ultrasonido intracoronario (IVUS) en pacientes con enfermedad de TCINP.

Métodos: registro prospectivo consecutivo de p con lesión de TCINP tratados con ATC con DES guiada por IVUS. Se consideraron eventos combinados de muerte, infarto de miocardio, accidente cerebro-vascular (ACV) o revascularización de lesión tratada (RVT).

Resultados: 24 p, edad media $65,7 \pm 12,1$ años; sexo masculino 83%, diabetes 21%. Enfermedad multi-vaso 88%. Lesión calcificada 13,6%. Fueron implantados $1,5 \pm 0,85$ stents/paciente. Syntax Score < 22 en 66,6%, 23-32 en 29,1%. Lesiones en bifurcaciones 87%. Implantados con técnica de stent provisional 77,3%. Área luminal media del DES $9,3 \text{ mm}^2$. Re-intervención con balón por hipoxpansión y/o falta de aposición en **33,3%**. Evolución intra-hospitalaria: 1 p infarto sub-clínico (4,1%). Seguimiento promedio 283 ± 103 días: 1 p IAM secundario a trombosis tardía de stent (2,7%). Mortalidad y ACV intrahospitalaria y alejada 0%.

Conclusiones: la ATC con DES optimizada con la guía de IVUS en lesiones de TCINP en nuestra experiencia es un procedimiento seguro, con baja incidencia de complicaciones mayores intra-hospitalaria y alejadas, por lo que puede ser considerado una alternativa a la cirugía de revascularización miocárdica.

Optimization by intravascular ultrasound of left main coronary artery angioplasty

Palabras clave:

Tronco de coronaria izquierda.

Angioplastia.

Stents liberadores de droga.

Ultrasonido intravascular.

33,4%

Optimización mediante ultrasonido intravascular de la angioplastia de bifurcación coronaria.

Optimization of coronary bifurcation angioplasty by intravascular ultrasound

Daniel A. Zanuttini, Tomas Cúneo, Lorena Gigli, Gabriel Tissera, Sebastian Cabrera, Luis Keller; Daniel Piskorz.

Instituto de Cardiología del Sanatorio Británico SRL, Rosario, Santa Fe, Argentina

INFORMACIÓN DEL ARTÍCULO

RESUMEN

Recibido el 16 de Marzo de 2022

Aceptado después de revisión

el 2 de Mayo de 2022

www.revistafac.org.ar

Los autores declaran no tener
conflicto de intereses

Introducción: La Angioplastia Transluminal Coronaria (ATC) con stents liberadores de droga (DES) de las lesiones en bifurcación coronaria continua siendo compleja, con tasas importantes de revascularización debidas a reestenosis; sin embargo es una opción factible. Es conocida la limitación de la angiografía sobre los elementos anatómicos y morfológicos de las bifurcaciones, que ya han mostrado valor pronóstico.

Objetivo: Evaluar la efectividad de ATC con DES optimizada por ultrasonido intracoronario (IVUS) en pacientes con enfermedad de bifurcación coronaria. Material y métodos: registro retrospectivo, unicéntrico y de brazo único. Del 11/2018 hasta 10/2021 fueron realizadas 457 angioplastias coronarias, de ellas, se identificaron 84 pacientes consecutivos con lesión de bifurcación coronaria sometidos a ATC con implante de DES guiado por IVUS.

Resultados: Los pacientes fueron seguidos en promedio durante 324 ± 83 días. Edad media $61,4 \pm 18,3$ años; sexo masculino 82%, diabetes 27%. Enfermedad multi-vaso 88%. Lesión calcificada 13,6% en angiografía y 27% por IVUS. Syntax Score < 22 en 69,1%, 23-32 en 27,3%. Bifurcación más frecuente descendente anterior-diagonal 53,5%. Implantados con técnica de stent provisional 78,5%. Área luminal media del DES $7,3 \text{ mm}^2$ en el vaso principal. Re-intervención con balón por hipoxpansión y/o falta de aposición en **22,6%**. Evolución intra-hospitalaria: 2 p infarto sub-clínico (2,4%). Seguimiento: 1 p IAM secundario a trombosis de stent (1,2%) en vaso lateral revascularizado. Mortalidad y ACV intrahospitalaria y alejada 0%. Dos stents (1,9%) presentaron trombosis tardía, implantados en vaso lateral, sin evento clínico.

Conclusión: la ATC con DES optimizada con la guía de IVUS en lesiones de bifurcación coronaria es un procedimiento seguro, con baja incidencia de complicaciones mayores intra-hospitalaria y alejadas. El óptimo implante del stent tendría impacto en los resultados del procedimiento.

Palabras clave:

Bifurcación coronaria.

Angioplastia.

Stents Liberadores de Droga.

Ultrasonido Intravascular.

22,6%

REINTERVENCIÓN DEL STENT

ORIGINAL ARTICLE

Intravascular Imaging–Guided or Angiography-Guided Complex PCI

J.M. Lee, K.H. Choi, Y.B. Song, J.-Y. Lee, S.-j. Lee, S.Y. Lee, S.M. Kim, K.H. Yun, J.Y. Cho, C.J. Kim, H.-S. Ahn, C.-W. Nam, H.-j. Yoon, Y.H. Park, W.S. Lee, J.-O. Jeong, P.S. Song, J.-H. Doh, S.-H. Jo, C.-H. Yoon, M.G. Kang, J.-S. Koh, K.Y. Lee, Y.-H. Lim, Y.-H. Cho, J.-M. Cho, W.J. Jang, K.-j. Chun, D. Hong, T.K. Park, J.H. Yang, S.-H. Choi, H.-C. Gwon, and J.-Y. Hahn, for the RENOVATE-COMPLEX-PCI Investigators*

This article was published on March 5, 2023, at NEJM.org.

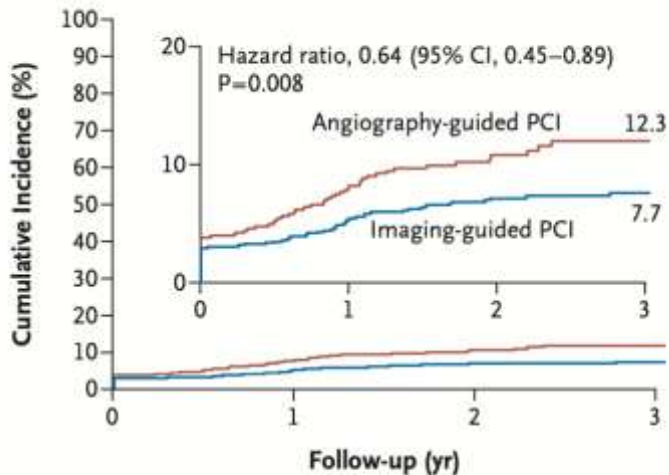
Table 2. Target-Lesion and Procedural Characteristics.*

Characteristic	Total (N = 1639)	Intravascular Imaging–Guided PCI Group (N = 1092)	Angiography-Guided PCI Group (N = 547)
Target-lesion characteristics			
Complex coronary lesions — no. (%)†			
True bifurcation lesion	359 (21.9)	233 (21.3)	126 (23.0)
Chronic total occlusion	319 (19.5)	220 (20.1)	99 (18.1)
Unprotected left main coronary artery disease	192 (11.7)	138 (12.6)	54 (9.9)
Diffuse long coronary-artery lesion	898 (54.8)	617 (56.5)	281 (51.4)
Multivessel PCI involving ≥2 major coronary arteries	622 (37.9)	409 (37.5)	213 (38.9)
Lesion necessitating use of ≥3 stents	305 (18.6)	208 (19.0)	97 (17.7)
Lesion with in-stent restenosis	236 (14.4)	158 (14.5)	78 (14.3)
Severely calcified lesion	231 (14.1)	157 (14.4)	74 (13.5)
Ostial lesions of major coronary artery	251 (15.3)	182 (16.7)	69 (12.6)
≥3 Complex coronary lesions — no. (%)	505 (30.8)	352 (32.2)	153 (28.0)
No. of vessels with disease — no. (%)			
1	526 (32.1)	342 (31.3)	184 (33.6)
2	621 (37.9)	420 (38.5)	201 (36.7)
3	492 (30.0)	330 (30.2)	162 (29.6)
Procedural characteristics			
Total no. of target lesions treated	1.5±0.7	1.5±0.7	1.5±0.7
Intravascular imaging device used — no./total no. (%)‡	1091/1639 (66.6)	1078/1092 (98.7)	13/547 (2.4)
Intravascular ultrasonography	813/1091 (74.5)	800/1078 (74.2)	13/13 (100)
Optical coherence tomography	278/1091 (25.5)	278/1078 (25.8)	0/13
Volume of contrast media used — ml	207.3±116.5	214.2±118.5	193.7±111.3
Median procedural time (IQR) — min	65 (47–89)	70 (51–95)	53.5 (40–75)
Procedural success — no. (%)	1613 (98.4)	1073 (98.3)	540 (98.7)

Table 3. Primary and Secondary End Points According to Competing-Risk Analyses.*

End Point	Total (N = 1639)	Intravascular Imaging- Guided PCI Group (N = 1092)	Angiography-Guided PCI Group (N = 547)	Hazard Ratio (95% CI)
		<i>number (cumulative incidence, %)</i>		
Primary end point: target-vessel failure†	136 (9.2)	76 (7.7)	60 (12.3)	0.64 (0.45–0.89)‡
Secondary end points§				
Target-vessel failure without procedure-related myocardial infarction	88 (6.3)	48 (5.1)	40 (8.7)	0.59 (0.39–0.90)
Target-vessel–related myocardial infarction or death from cardiac causes	96 (6.4)	53 (5.3)	43 (8.5)	0.63 (0.42–0.93)
Death from any cause¶	70 (5.6)	42 (5.3)	28 (6.4)	0.71 (0.44–1.15)
Death from cardiac causes	33 (2.4)	16 (1.7)	17 (3.8)	0.47 (0.24–0.93)
Myocardial infarction	75 (5.0)	43 (4.4)	32 (6.2)	0.78 (0.48–1.25)
Target-vessel–related myocardial infarction	68 (4.3)	38 (3.7)	30 (5.6)	0.74 (0.45–1.22)
Spontaneous myocardial infarction	17 (1.2)	8 (0.9)	9 (1.8)	0.66 (0.23–1.90)
Procedure-related myocardial infarction	52 (3.2)	30 (2.7)	22 (4.0)	0.77 (0.43–1.35)
Non–target-vessel–related myocardial infarction	8 (0.8)	5 (0.8)	3 (0.8)	1.24 (0.24–6.40)
Repeat revascularization**	87 (6.6)	55 (6.3)	32 (7.1)	0.95 (0.60–1.48)
Target-vessel revascularization	57 (4.1)	32 (3.4)	25 (5.5)	0.69 (0.40–1.18)
Target-lesion revascularization	44 (3.2)	24 (2.6)	20 (4.4)	0.66 (0.36–1.22)
Definite stent thrombosis††	5 (0.3)	1 (0.1)	4 (0.7)	0.25 (0.02–2.75)
Contrast-induced nephropathy‡‡	40 (2.4)	26 (2.4)	14 (2.6)	0.99 (0.51–1.92)

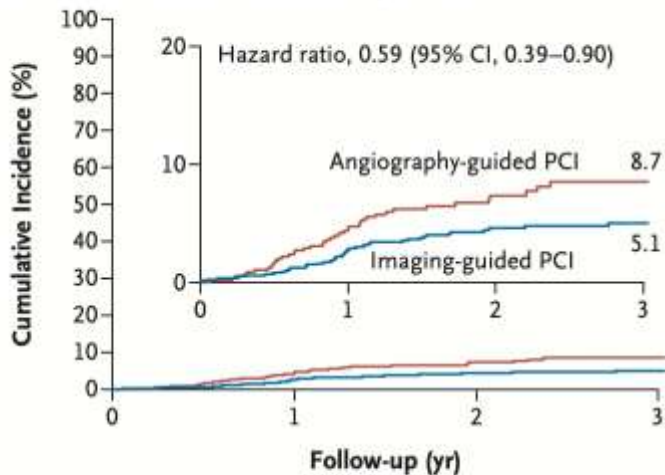
A Target-Vessel Failure



No. at Risk

Angiography-guided PCI	547	496	280	120
Imaging-guided PCI	1092	1023	591	255

B Target-Vessel Failure without Procedure-Related Myocardial Infarction



No. at Risk

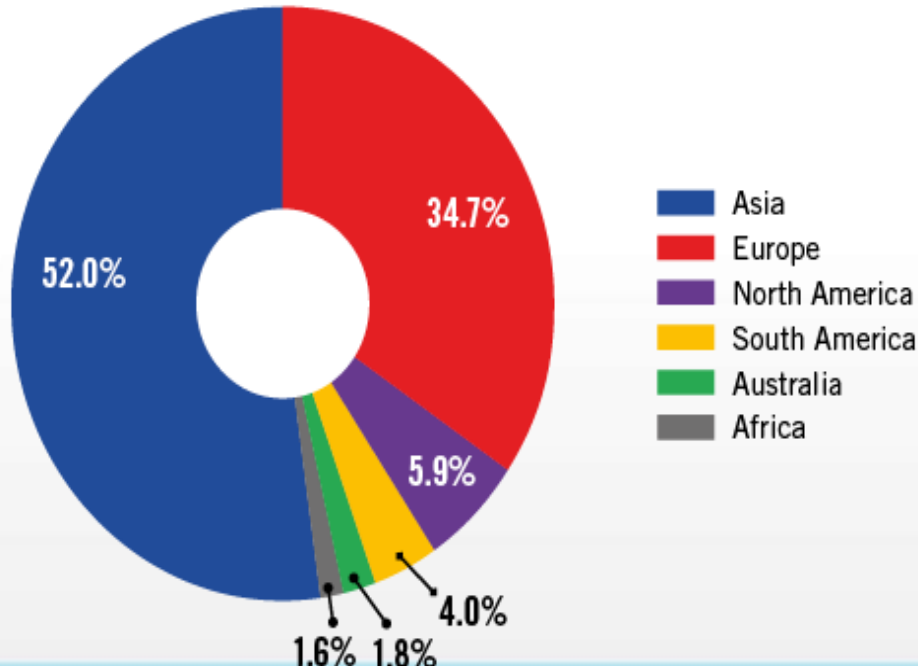
Angiography-guided PCI	547	516	284	121
Imaging-guided PCI	1092	1051	596	256

CONCLUSION:

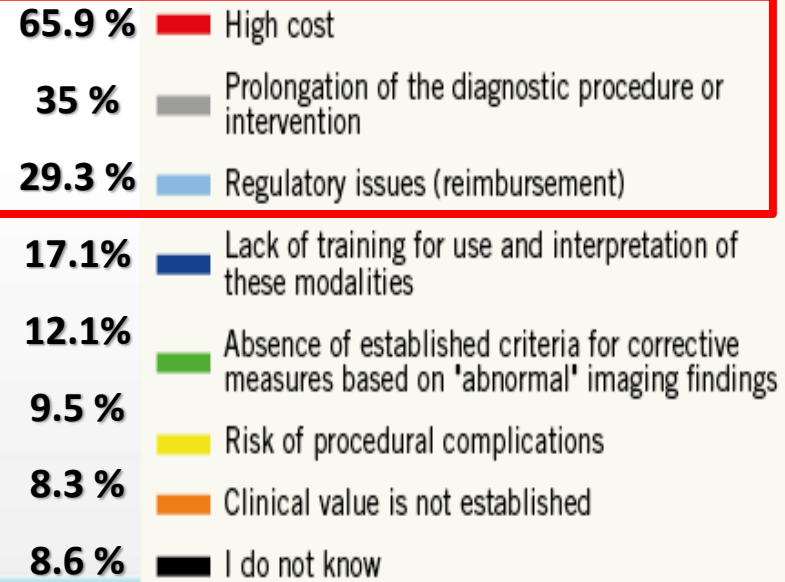
Lesiones complejas. ICP guiada por imágenes intravasculares

- menor riesgo de una combinación de MUERTE por causas cardíacas, IAM relacionado con el vaso diana o revascularización del vaso diana impulsada clínicamente vs. la ICP guiada por angiografía. .

Current use of intracoronary imaging in interventional practice – Results of a European Association of Percutaneous Cardiovascular Interventions (EAPCI) and Japanese Association of Cardiovascular Interventions and Therapeutics (CVIT) Clinical Practice Survey



Factors limiting the clinical use of IVUS / OCT



Comentarios finales

- Angioplastias guiadas por imágenes (IVUS), produce cambios en resultados largo plazo, en PCI complejas, especialmente en reducir revascularización de la lesión tratada.
- Para obtener estos beneficios, las imágenes deberían ser correctamente interpretadas, y los operadores deberían reaccionar a los resultados del IVUS.
- Guía por IVUS para lesiones complejas y detección del mecanismo de falla del stent
(Clase I, evidencia A)
PRE intervención: evaluación vaso y características lesión
POST intervención: expansión del Stent, aposición y complicaciones agudas (disección).
- Desde el momento que tomó su decisión de darle el tiempo necesario para re evaluar su caso por IVUS, intente identificar las diferentes imágenes / complicaciones.

MUCHAS GRACIAS

- **Dr Daniel Aníbal Zanuttini**
- Director del Departamento de Cardiología Intervencionista y Hemodinamia. ICSB.
 - Sanatorio Británico.
 - Rosario . Argentina
- danielzanuttini10@gmail.com



Milestones in the Evolution of PCI Over the First 40 Years

